

**ВЛИЯНИЕ СКОРОСТИ ДЕФОРМАЦИИ НА
КИНЕТИКУ РАЗРУШЕНИЯ И ПАРАМЕТРЫ
АКУСТИЧЕСКОЙ ЭМИССИИ
ВЫСОКОУГЛЕРОДИСТОЙ СТАЛИ, ОХРУПЧЕННОЙ
ВОДОРОДОМ**

Докладчик: Мерсон Е.Д.



**ТОЛЬЯТИНСКИЙ
ГОСУДАРСТВЕННЫЙ
УНИВЕРСИТЕТ**

**Лаборатория «Физики прочности и
интеллектуальных диагностических систем»**

Содержание доклада:

I. ВОДОРОДНАЯ ХРУПКОСТЬ МЕТАЛЛОВ И СПЛАВОВ

1. История вопроса
2. Классификация видов ВХ
3. Состояние водорода в металле
4. Механизмы ВХ
5. ВХ и АЭ

II. ВЛИЯНИЕ СКОРОСТИ ДЕФОРМАЦИИ НА КИНЕТИКУ РАЗРУШЕНИЯ И ПАРАМЕТРЫ АКУСТИЧЕСКОЙ ЭМИССИИ ВЫСОКОУГЛЕРОДИСТОЙ СТАЛИ, ОХРУПЧЕННОЙ ВОДОРОДОМ

1. Методика
2. Результаты
3. Выводы

II. ВОДОРОДНАЯ ХРУПКОСТЬ МЕТАЛЛОВ И СПЛАВОВ

История вопроса

Первое упоминание о негативном влиянии водорода на свойства стали:

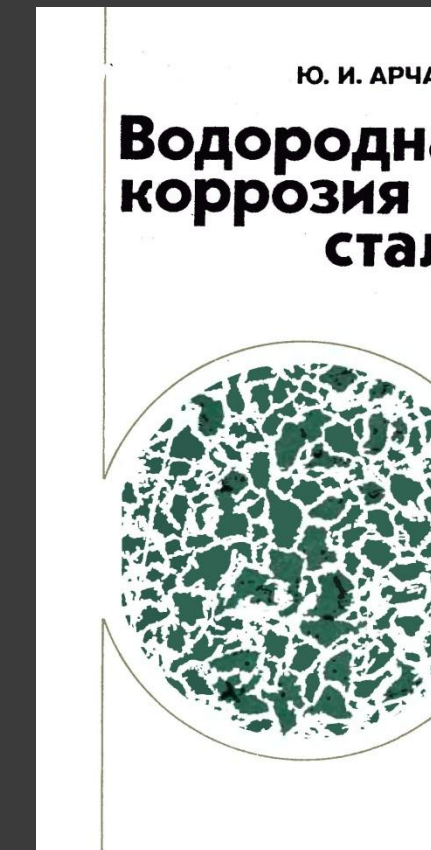
L. B. Pfeil, Proc. Roy. Soc. A112, 182 (1926)



В настоящее время:

водородная хрупкость - это вся совокупность отрицательных явлений, обусловленных повышенным содержанием водорода в металле.

История вопроса



Лаборатория «Физики прочности и интеллектуальных диагностических систем»

Классификация видов ВХ

По способу нагружения ВХ:

- ВХ при кратковременном действии нагрузки (динамическая хрупкость);
- статическая водородная усталость («замедленное» или «задержанное разрушение»);
- циклическая водородная усталость

По скорости нагружения:

- при больших скоростях деформации;
- при малых скоростях деформации;

Классификация видов ВХ

По способу попадания водорода в металл:

- технологическая;
- эксплуатационная

По степени воздействия:

- обратимая;
- необратимая

По состоянию водорода в металле:

- ВХ обусловленная диффузионно-подвижным водородом;
- химическая и физико-химическая деградация;
- водородная деструкция

Классификация видов ВХ по причинам, ее вызывающим (Б.А. Колачев)

I Водородная хрупкость первого рода - это ВХ, источники которой имеются в исходном металле из-за повышенного содержания водорода до какого-либо приложения напряжений.

- 1) ВХ первого вида обусловлена газообразными продуктами, образующимися внутри металла при реакции диффундирующего водорода с примесями или легирующими элементами. К ней относятся, в частности, такие явления, как **водородная болезнь металлов и водородная коррозия стали**;
- 2) ВХ второго вида обусловлена молекулярным водородом в несплошностях, который при большой концентрации может создавать значительные давления, приводящие к пластической деформации металла. К ней относятся, такие явления как: **флокены, пористость (блестеринг), рыбий глаз**.
- 3) ВХ третьего вида обусловлена хрупкими продуктами взаимодействия металла с водородом. К ней относится **гидридная хрупкость**, которая доминирует в титане и его α -сплавах, цирконии и его α -сплавах, в уране и ряде других металлов и наиболее сильно проявляется при испытаниях на ударную вязкость.
- 4) ВХ четвертого вида обусловлена растворенным водородом. Она проявляется при больших содержаниях водорода и скоростях деформации, и в достаточно узких интервалах температур. Характерна для титановых ($\alpha+\beta$) и β -сплавах, ниобия и ванадия.

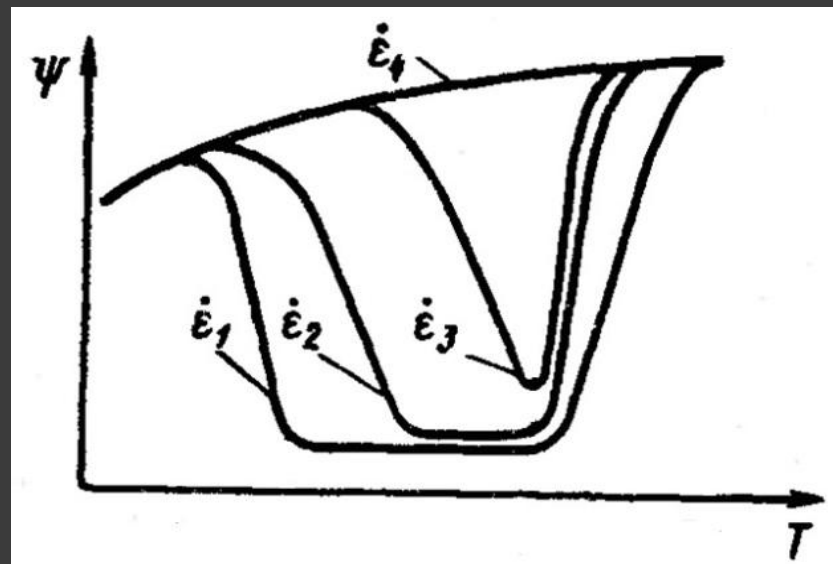
Классификация видов ВХ по причинам, ее вызывающим (Б.А. Колачев)

II Водородная хрупкость второго рода - это ВХ связанная с повышенным содержанием водорода в процессе пластической деформации. ВХ второго рода развивается в определенном интервале температур и скоростей деформации, она может быть обратимой и необратимой, подразделяется на 3 вида:

- 5) ВХ пятого вида наблюдается в том случае, когда в образцах фиксируется пересыщенный относительно водорода твердый раствор. В этом случае сплавы не склонны к ВХ при больших скоростях деформации. Однако при малой скорости пластической деформации твердые растворы распадаются с выделением молекулярного водорода или хрупких фаз (**пластиинчатые выделения гидридов, α - и ε -мартенсит в аустенитных сталях**).
- 6) ВХ шестого вида обусловлена диффузионно-подвижным водородом и относится к наиболее сложным явлениям, связанным с влиянием водорода на механические и служебные свойства металла. Изучению этой хрупкости посвящено наибольшее число работ, поскольку именно ее считают «истинной» ВХ.
- 7) ВХ седьмого вида обусловлена внешним водородом, образующимся при реакциях в процессе коррозионного растрескивания, а также молекулярным газообразным или жидким водородом в окружающей среде (СКРН).

ВХ обусловленная диффузионно-подвижным водородом (6-й вид).

1) Снижение пластичности наблюдается в определенном интервале температур и скоростей деформации. С уменьшением скорости деформации температурный интервал проявления ВХ расширяется, а падение пластичности усиливается.



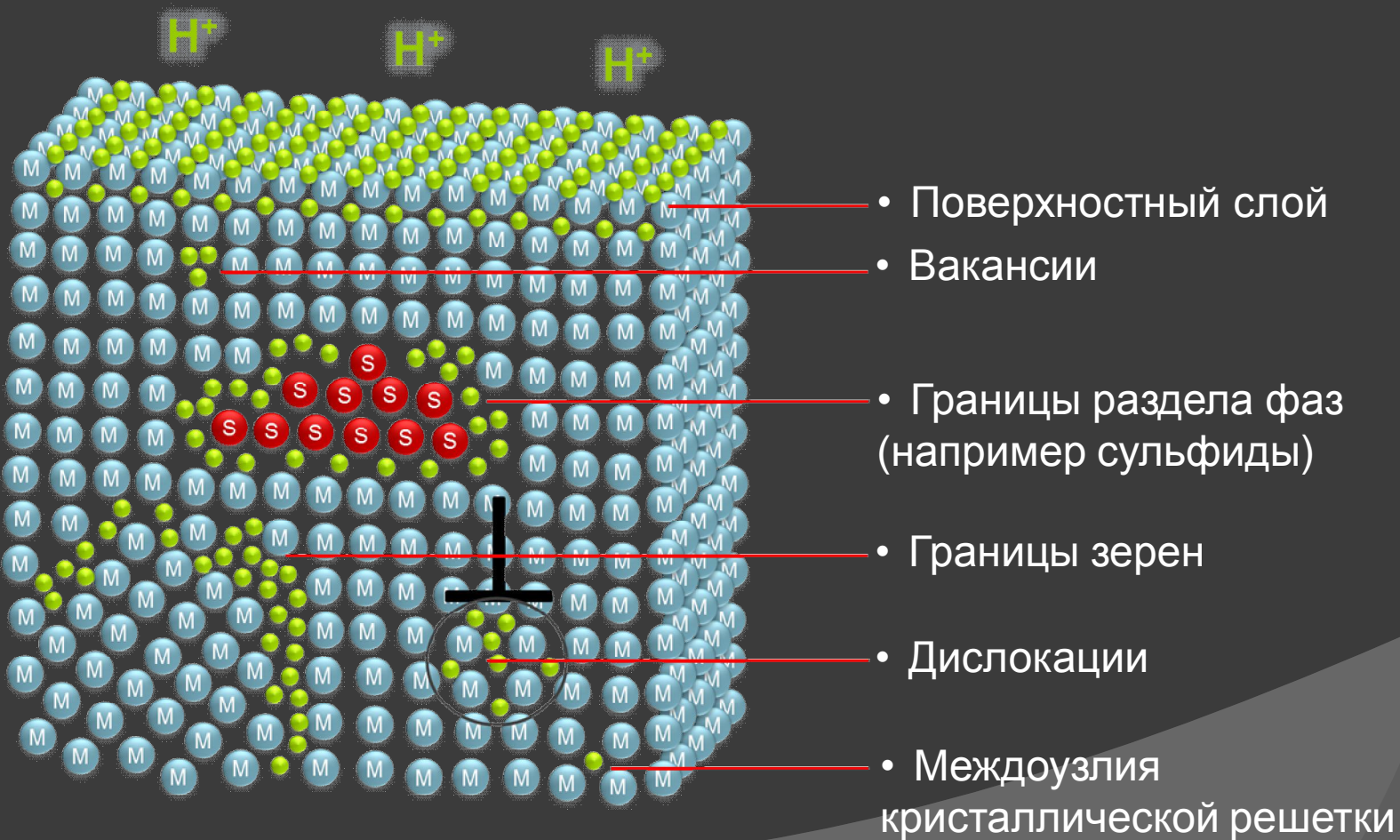
Зависимость поперечного сужения наводороженных металлов от температуры при разных скоростях деформации $\dot{\varepsilon}$ ($\dot{\varepsilon}_1 < \dot{\varepsilon}_2 < \dot{\varepsilon}_3 < \dot{\varepsilon}_4$)

BX обусловленная диффузионно-подвижным водородом (6-й вид).

- 2) BX шестого вида не проявляется, если после достаточного отдыха, следующего за длительным нагружением, провести испытания на растяжение с большой скоростью деформации или удар;
- 3) BX шестого вида не проявляется, после вылеживания металла при комнатной температуре или после отжига либо отпуска на воздухе или вакууме;
- 4) К достаточно сильному снижению пластичности материала приводит даже относительно небольшое содержание водорода (от 1-2 см³/100 г);
- 5) BX шестого вида может развиваться в соответствующих условиях во всех металлах с заметной растворимостью водорода [3].
Экспериментально BX этого вида обнаружена в железе, углеродистых и легированных сталях, в том числе аустенитных (при высоком содержании водорода), в никеле и его сплавах, титановых α- и β-сплавах, металлах VA группы (ванадий и ниобий), в непереходных металлах в частности в сплавах на основе алюминия, в магниевых сплавах.

Состояние водорода в металле

Под ловушками понимают области металла, в которых атомы водорода обладают пониженной свободной (потенциальной) энергией по сравнению с нормальными его позициями в решетке



Классификация ловушек водорода

[Колачев Б.А., Водородная хрупкость металлов / Б.А. Колачев. - М.: Металлургия, 1985. – 216 с.]

Под ловушками понимают области металла, в которых атомы водорода обладают пониженной свободной (потенциальной) энергией по сравнению с нормальными его позициями в решетке

Класс	Природа (вид)	Линейный размер	Пример	Энергия связи H_b , эВ
Точечные	Вакансия	-	-	0,4-0,6
	Атомы замещения	Несколько межатомных расстояний	Ni, Mn, Cr	0,08-0,1
	Атомы внедрения	То же	C N	0,03 >0,13
Линейные	Ядро дислокации	0,06 нм	Ядро смешанной дислокации	0,61
	Краевые дислокации	3 нм	Упругое поле	0,17-0,47 (о.ц.к) 0,10-0,20 (г.ц.к.)
	Винтовые дислокации	0,06 нм	Ядро	0,21-0,31

Классификация ловушек водорода

Двухмерные	Межзеренные границы	3 нм	Средняя граница	0,27
	Межфазные границы	Диаметр частицы	Высокоугловая граница	0,55-0,61
	Когерентные границы	Диаметр частицы	Интерметаллиды	0,4
	Двойниковые границы	Несколько межатомных	Выделения на границах	-
	Внутренние свободные поверхности	Адсорбированный слой	Поверхность	-
Объемные	Области объемного растяжения	Размер областей	Металл у вершины микротрещины	0,26-0,43
	Скопление дислокаций		Мартенситный кристалл	
	Частицы, растворяющие водород	Размер скоплений	Скопление	0,373
	Объем пор и микронесплошностей	Размер частицы	-	Теплота растворения водорода частицей

Механизмы ВХ 6-го вида

- 1) Теория молекулярного давления водорода [Цапфе и Симс, 1941 г.]
- 2) Адсорбционная теория [Я.М. Потак, 1955 г. и Н. Петч, 1956 г.]
- 3) Декогезионная теория [Пфейль и Ориани]

Необходимо локальное обогащение водородом металла

Способы транспортировки водорода в металле:

Дислокационный

Диффузионный

Рост трещин под действием водорода

Трехстадийный характер роста трещины

[Troiano A.R., 1960]

- Измерение электросопротивления
 - Образцы с надрезом

[Bhattacharya A.K., 1992]

- Метод *акустической эмиссии*
- Образцы с надрезом

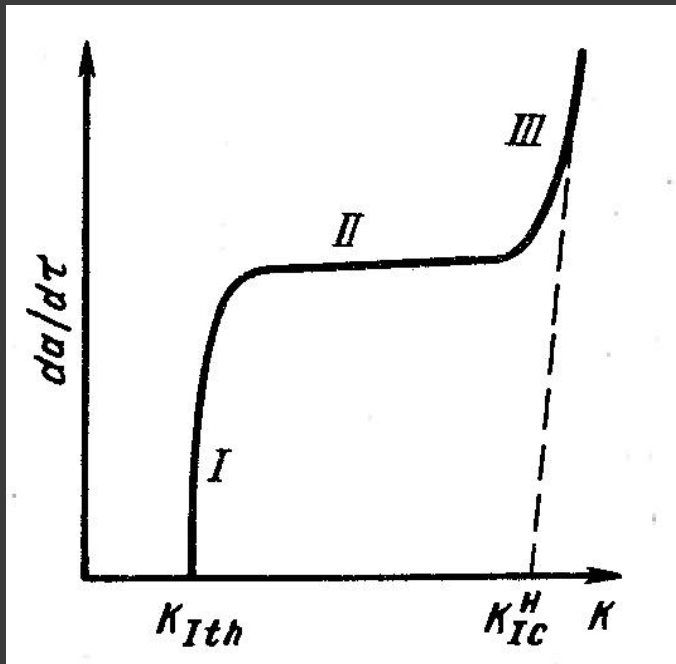


Схема зависимости скорости роста трещины от коэффициента интенсивности напряжений в условиях ВХ

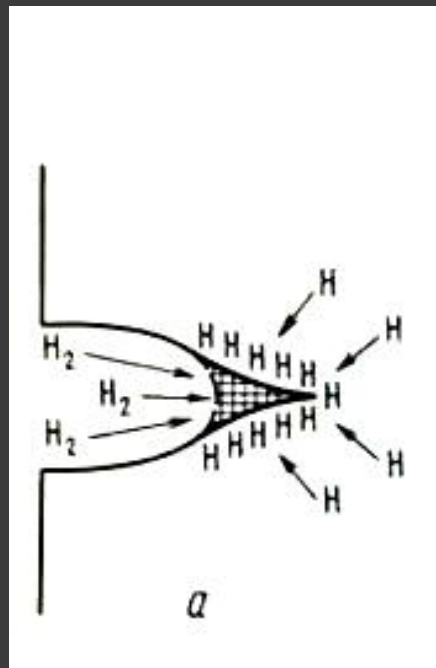
Рост трещин под действием водорода

Экспериментально установлены следующие закономерности субкритического роста трещин:

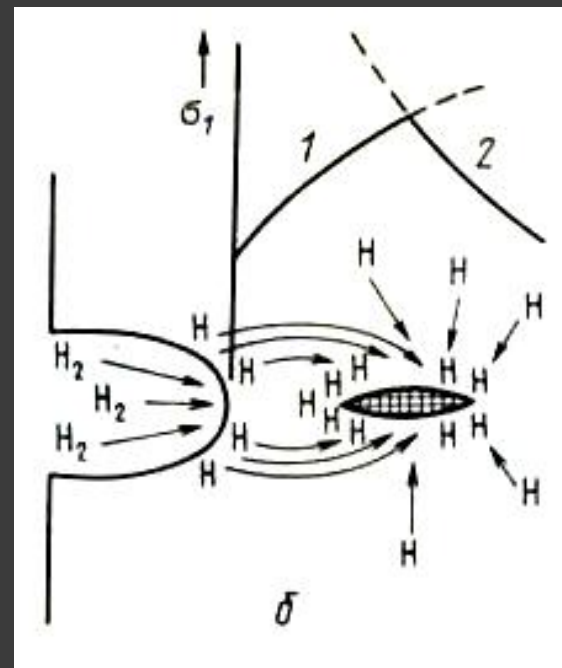
1. Скорость роста трещин сильно возрастает с увеличением предела текучести, $da/dt \sim \sigma_T^\alpha$ ($\alpha >> 2$); увеличение предела текучести вдвое повышает скорость роста трещины в 10^3 раз.
2. Скорость роста возрастает с увеличением содержания диффузионно-подвижного водорода.
3. Трещина растет скачкообразно.
4. Пороговый коэффициент интенсивности напряжений K_{Ith} уменьшается с увеличением содержания водорода.

Схемы роста трещин

По версии Ориани



По версии Трояно



Применение метода АЭ для исследования ВХ

1. Исследования роста трещины на образцах с надрезом при постоянной нагрузке или постоянной низкой скорости деформации.
 - Bhattacharya A.K., Monitoring hydrogen embrittlement cracking using acoustic emission technique / A.K. Bhattacharya, N.Parida, P.C.Cope // Journal of material science. - 1992. - v.27, №6. - p. 1421-1427
 - Carpenter S.H., The effects of cathodic charging on the acoustic emission generated by intergranular cracking in sensitized 304 stainless steel / S.H. Carpenter, D.R. Smith // Metallurgical Transactions. – 1990. – v. 21A. – p. 1933 -1939.
 - Dedhia D.D. Application of acoustic emission analysis to hydrogen-assisted cracking / D.D. Dedhia, Wood W.E. // Materials Science and Engineering. – 1981. – v.49. – p.263-273.
2. Исследования водородного растрескивания в среде сероводорода без нагрузки.
 - Weng C.C. Acoustic emission characterization of a medium strength steel during hydrogen permeation processes / C.C. Weng, G.C. Lin and R.T. Chen // Materials science and engineering. – 1992. – v. A154, №1. – p. 51-57.
 - Tsai S. Y. Correlation between acoustic emission signals and hydrogen permeation in high strength, low alloy steel cracking in wet H₂S / S.Y. Tsai, H.C. Shih // The electrochemical society. – 1998. – v. 145, №6. – p. 1968-1976.

Применение метода АЭ для

исследования ВХ

3. Исследование образцов на растяжение с постоянной скоростью деформации

- Мерсон Д.Л., . Связь механических характеристик стали 35Г2 с содержанием водорода и параметрами акустической эмиссии / Д. Л. Мерсон [и др.] // Заводская лаборатория. Диагностика материалов. - 2008. – № 2. – С. 57-60.
- Забильский В.В., Влияние водорода на акустическую эмиссию и характеристики трещиностойкости высоковязкой стали / В. В. Забильский, С. Г. Ильина // ФММ. - 2000. – Т. 90, № 6. – С. 105-107.
- Мерсон Д.Л., Влияние наводороживания статически напряженных трубных сталей на их механические свойства и акустическую эмиссию / Д. Л. Мерсон, А. А. Разуваев, Т. В. Тетюева // Вестник Тамбовского университета. Серия Естественные и технические науки. - 2000. – Т. 5, вып.2 - 3. - С. 385-367.
- Proverbio E. Sub critical crack growth in hydrogen assisted cracking of cold drawn eutectoid steel / E. Proverbio, P. Longo // Corrosion Science. – 2007. – v. 49. – p. 2421–2435.

4. Применение микроиндентирования для неразрушающей диагностики ВХ

- Мерсон Д.Л., Ранняя диагностика водородной повреждаемости металла с помощью методики, совмещающей методы индентирования и акустической эмиссии / Д. Л. Мерсон и др. // Материалы XLVII Международной конференции «Актуальные проблемы прочности». Ч. 1 . - Н.Новгород, 2008, 1-5 июля. - С. 320-322.
- Мерсон Д.Л., Влияние наводороживания металла на акустическую эмиссию при индентировании трубных сталей / Д. Л. Мерсон, Д. Е. Мещеряков, Н. А. Акишин // Тезисы докладов IV Евразийской научно-практической конференции: Прочность неоднородных структур. - Москва, 2008, 8-10 апреля. - С.190.
- Merson D. L., Early identification of hydrogen embrittlement by indentation with acoustic emission measurements / D. L. Merson, D. E. Mesheryakov, A. Vinogradov // Progress in acoustic emission XIV. The Japanese Society for NDI. - 2008. – Р. 115-120.

II. ВЛИЯНИЕ СКОРОСТИ ДЕФОРМАЦИИ НА КИНЕТИКУ РАЗРУШЕНИЯ И ПАРАМЕТРЫ АКУСТИЧЕСКОЙ ЭМИССИИ ВЫСОКОУГЛЕРОДИСТОЙ СТАЛИ, ОХРУПЧЕННОЙ ВОДОРОДОМ

Цель работы: выявить особенности кинетики разрушения гладких образцов высокоуглеродистой стали в условиях водородной хрупкости с помощью метода акустической эмиссии при различных скоростях деформирования.

Образцы

Химический состав

C	Si	Mn	Cr	S	P	Cu	Ni	Al
0,69	0,29	0,59	0,02	0,007	0,014	0,06	0,03	-

1. Материал

Прямоугольные гладкие образцы рессорно-пружинной **стали 70** размером 20×120×1,8 (0.5, 1.0, 1.5, 2.5) мм

2. Термо-обработка

- закалка 850 ± 10 °C, охлаждение в масле
- низкий отпуск 240 ± 10 °C, выдержка 1 час
- средний отпуск 450 ± 10 °C, выдержка 2 часа

Твердость после термообработки
 49 ± 2 HRC

3. Наводороживание

Гальваническое щелочное цинкование
на подвесах при плотности тока 8 A/дм² в течение 20 минут

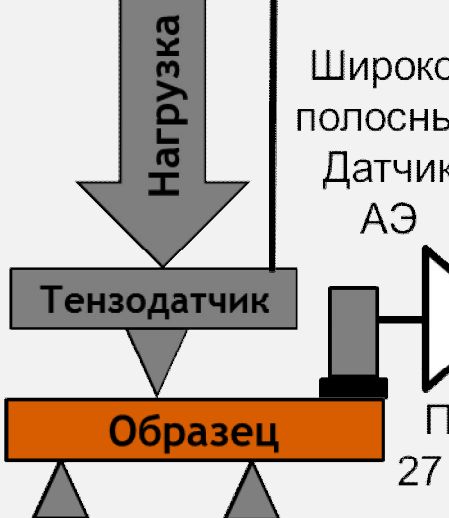
4. Обезводороживание

- 1) Выдержка в течение 3 ч при 190 ± 10 °C в атмосфере воздуха
- 2) Выдержка в течение 3 ч при 250 ± 10 °C в атмосфере воздуха

Методика эксперимента

Механические испытания

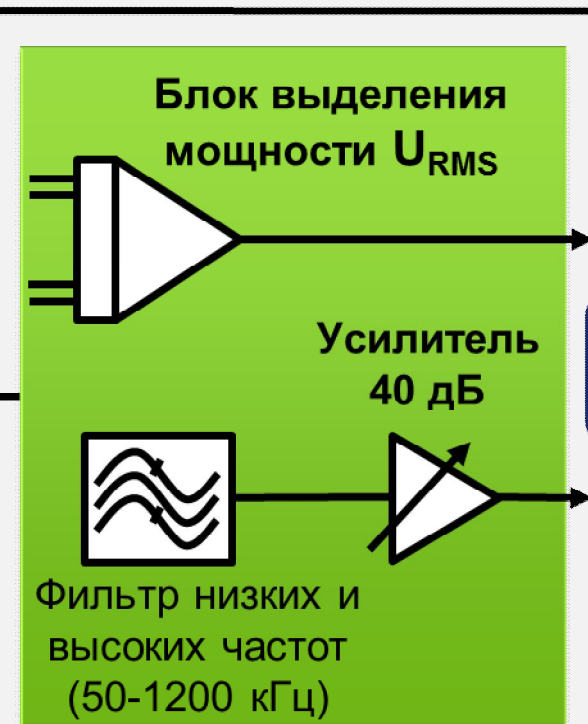
Трехточечный изгиб



- 1) $\dot{\varepsilon} = 3 \cdot 10^{-6} \text{ с}^{-1}$
- 2) $\dot{\varepsilon} = 3 \cdot 10^{-4} \text{ с}^{-1}$
- 3) $\dot{\varepsilon} = 3 \cdot 10^{-3} \text{ с}^{-1}$

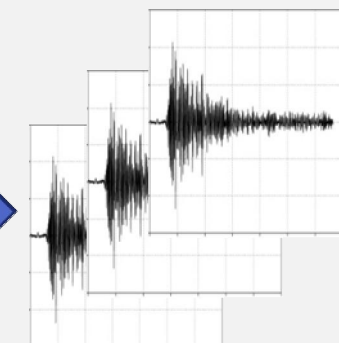
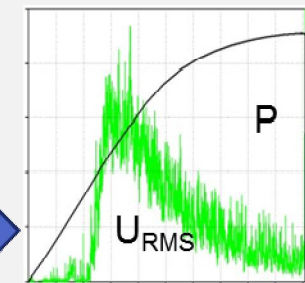
Методика регистрации АЭ

Акусто-эмиссионная система «ЭЯ-2»
(ТГУ, Тольятти)



Выходные данные

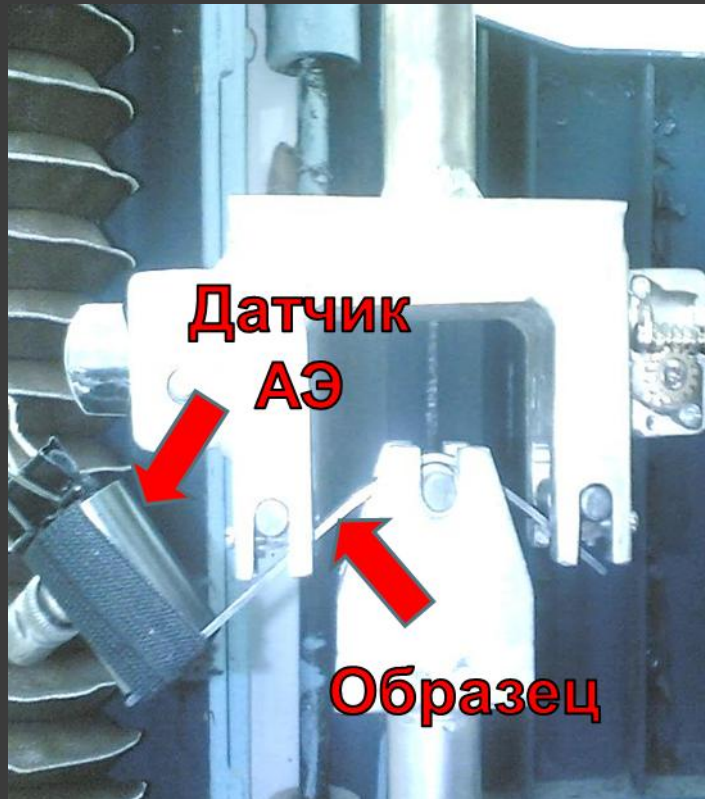
Синхронизированные по времени кривые изгиба и U_{RMS}



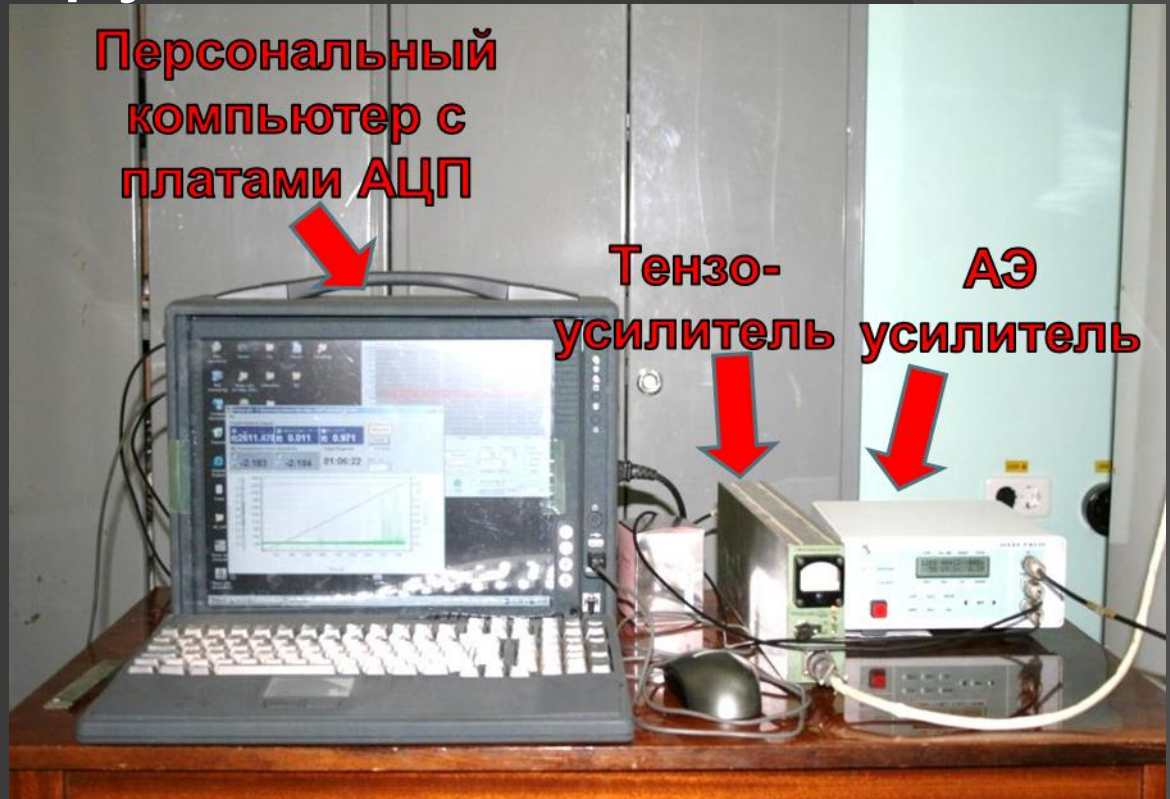
Дискретные сигналы АЭ

Максимальный прогиб Δ_{max}

Экспериментальное оборудование



Разрывная машина 1231-У

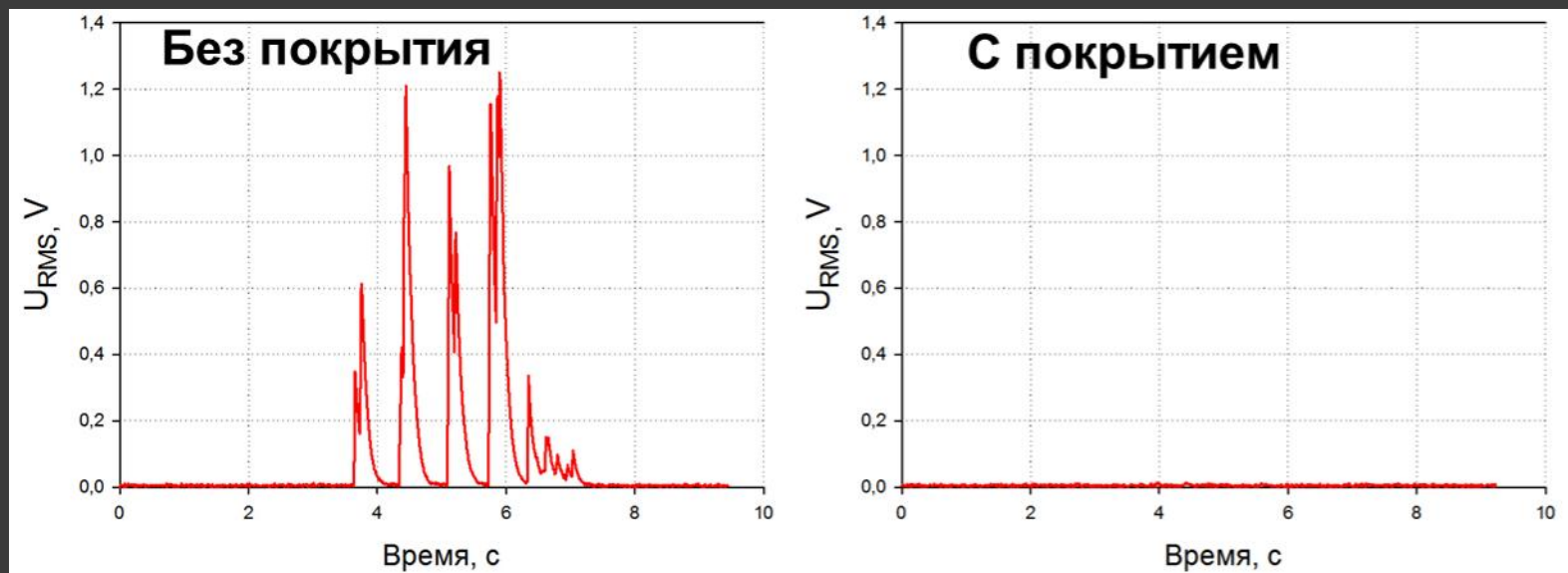


Акусто-эмиссионная установка ЭЯ-2

Склерометрия



Склерометрические исследования проводились с помощью модернизированного микротвердомера ПМТ-3 при нагрузке на индентор и 300 гс со скоростью царапания 500 мкм/с. В качестве индентора использовалась алмазная пирамида Виккерса.



Фрактографические исследования

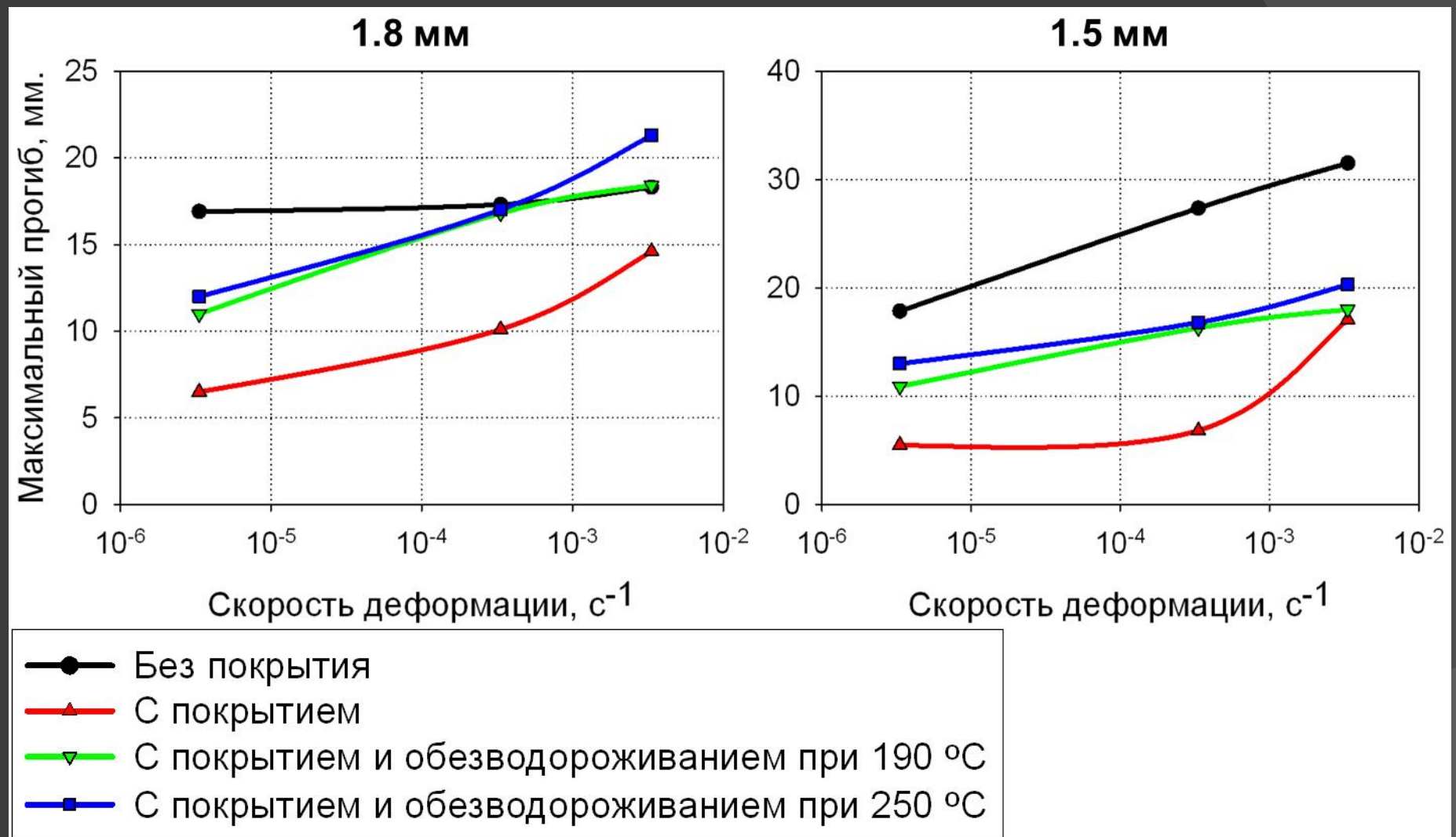


Растровый электронный
микроскоп LEO 1455 VP (ОАО
«АвтоВАЗ» г. Тольятти)



Растровый электронный микроскоп
FEI Quanta 600 FEG (Самарский
ИТЦ, г. Самара)

Результаты механических испытаний

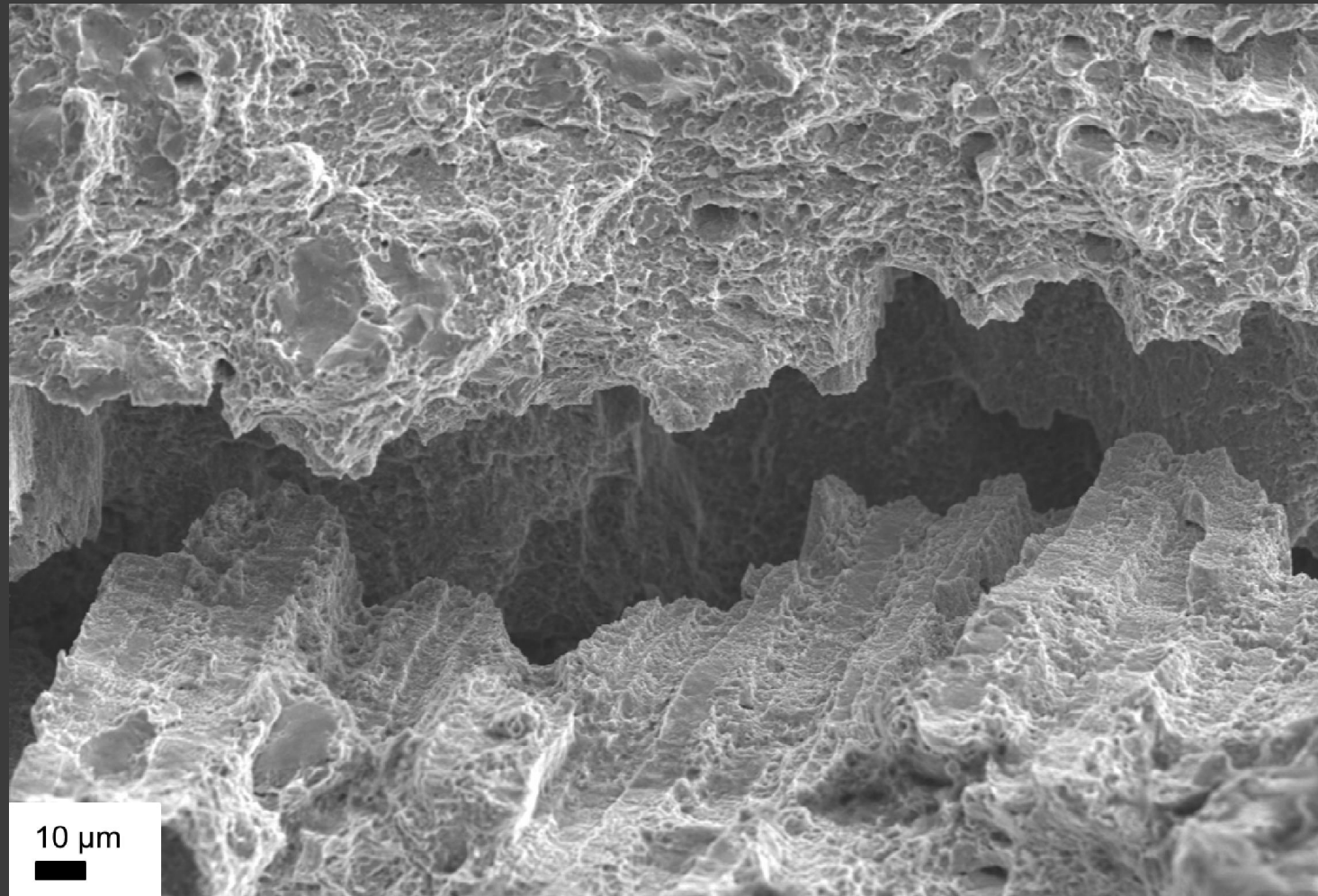


Фрактография

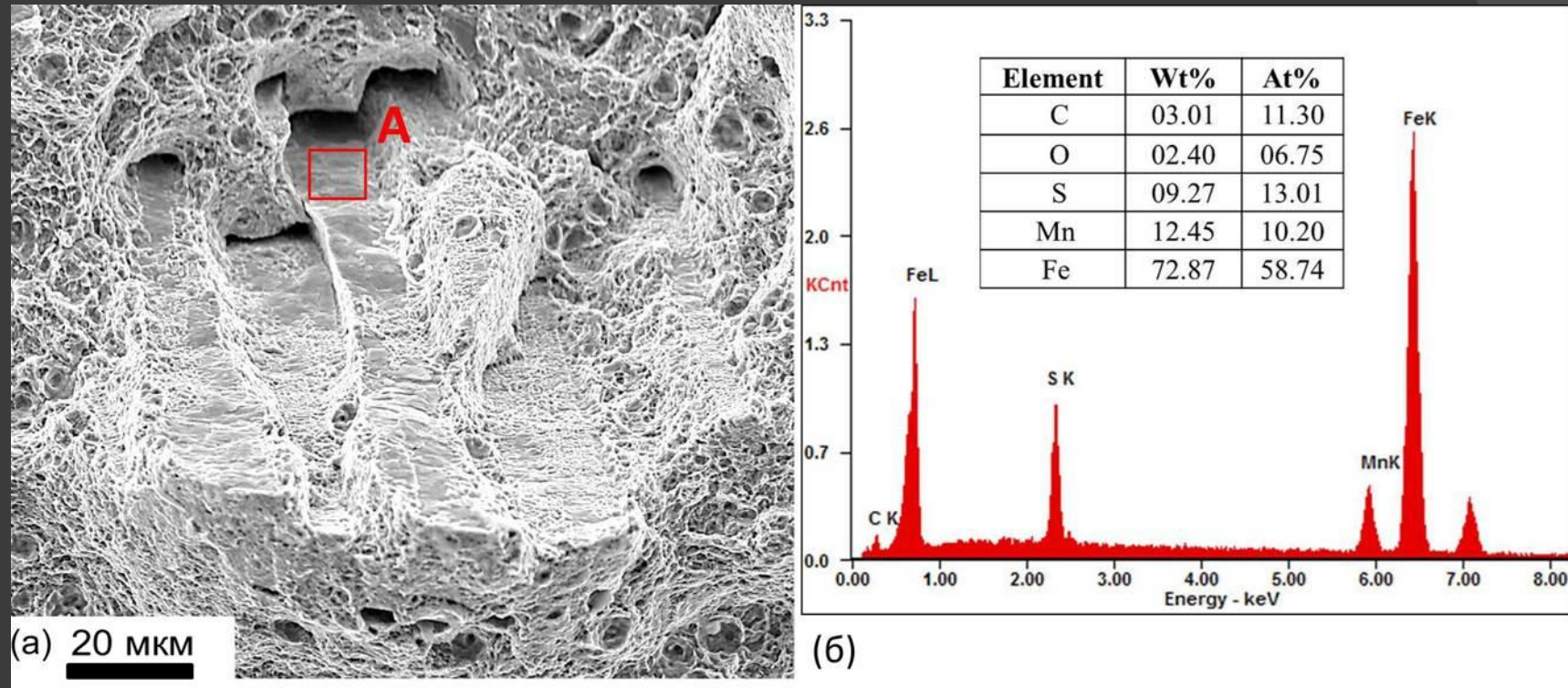
Излом образца без покрытия толщиной 1.8 мм, разрушенного при высокой скорости деформирования



Излом образца без покрытия толщиной 1.8 мм, разрушенного
при высокой скорости деформирования



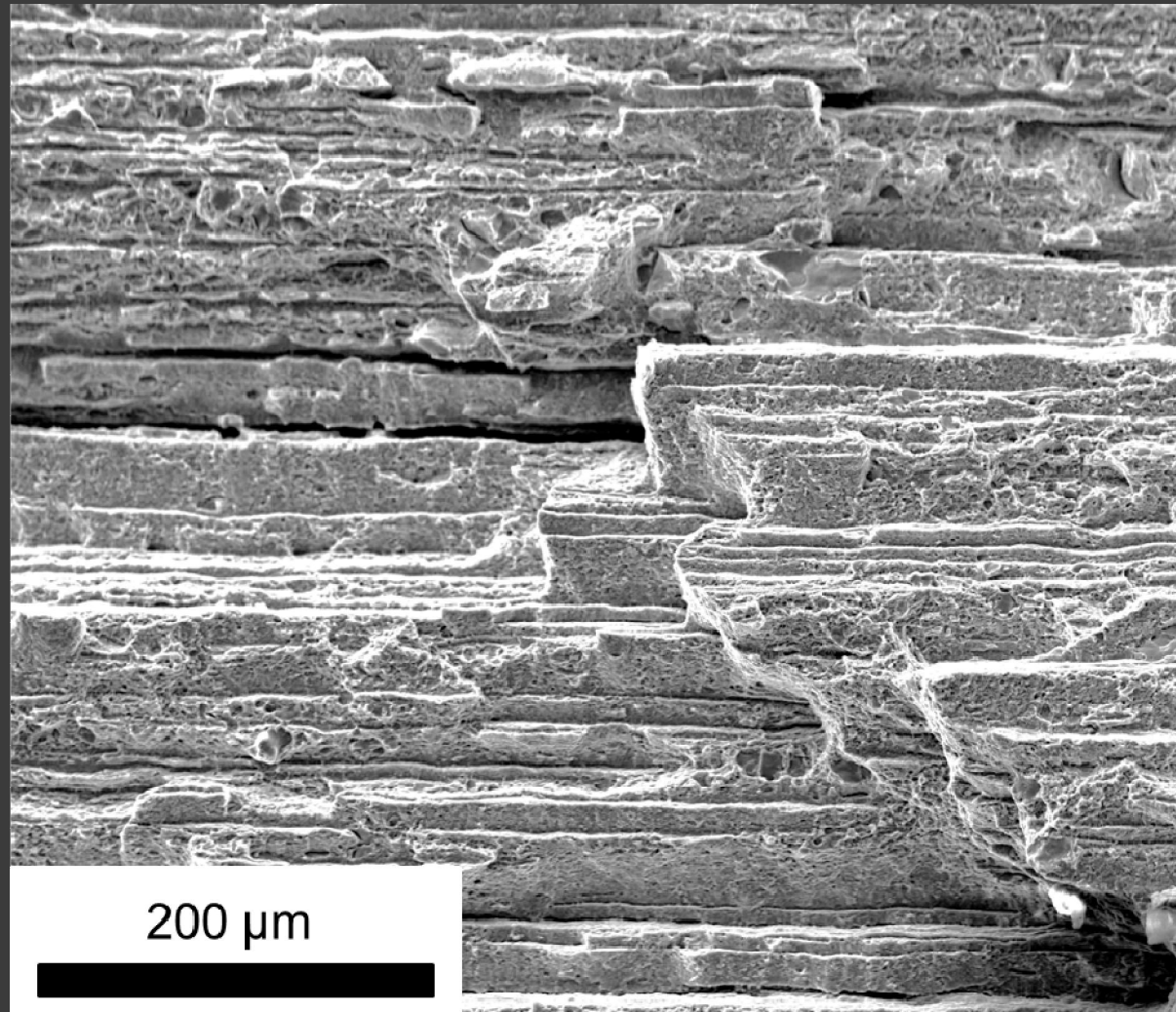
Сульфиды в изломе образца без покрытия толщиной 1.5 мм,
разрушенного при низкой скорости деформирования



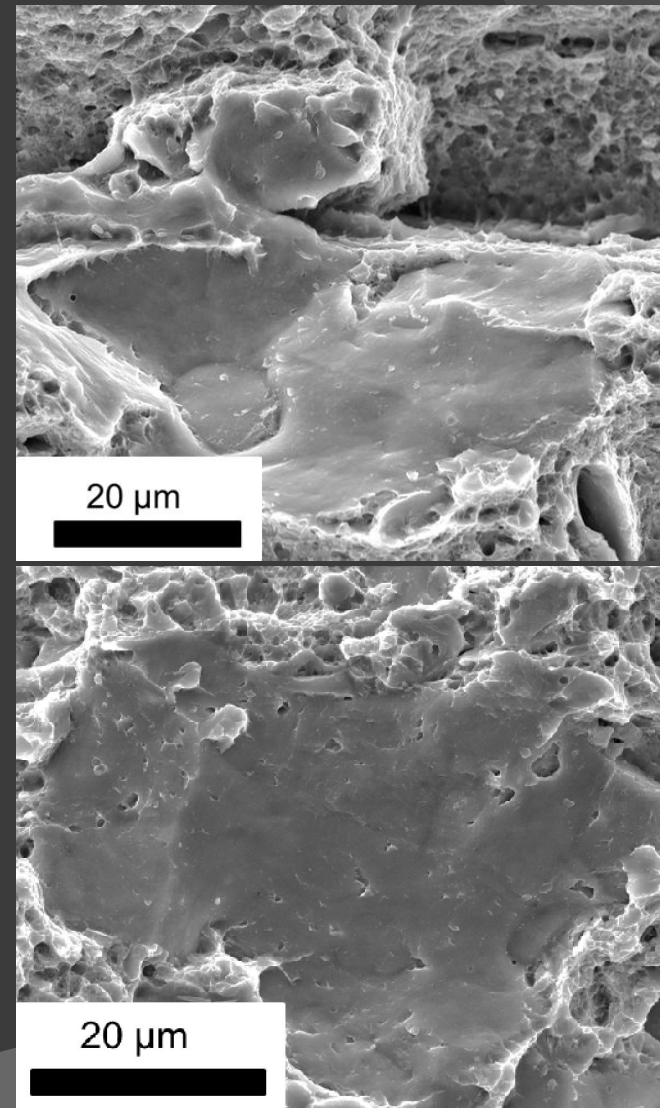
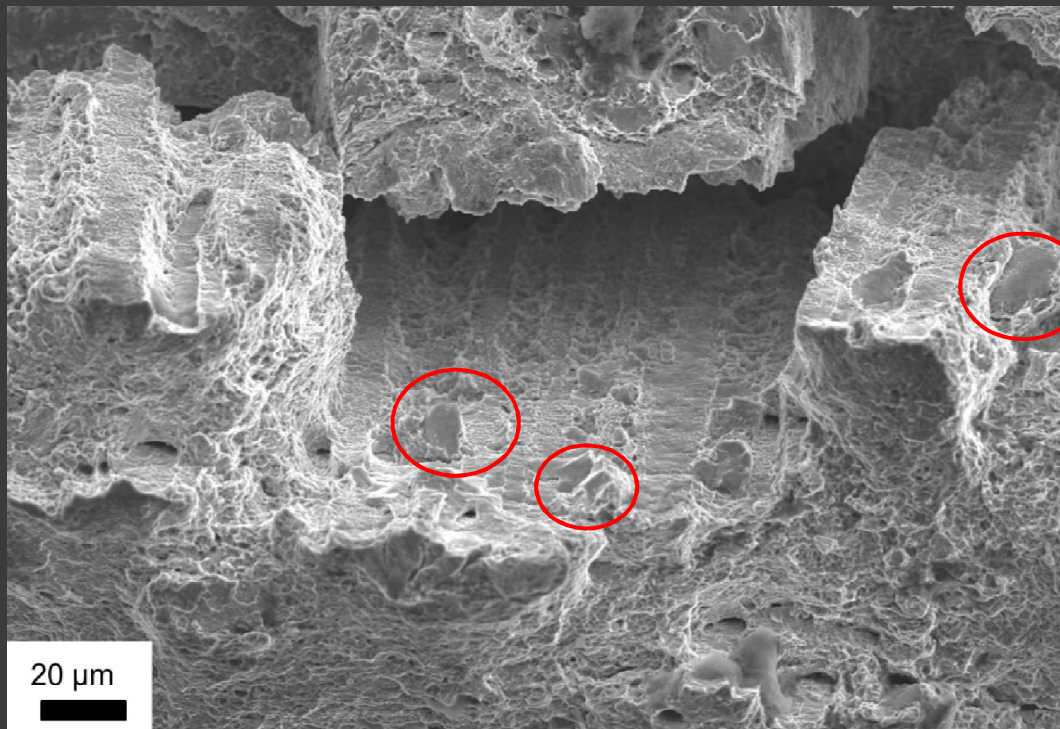
а) Фрактография

б) Рентгеноспектральный
микроанализ в области А

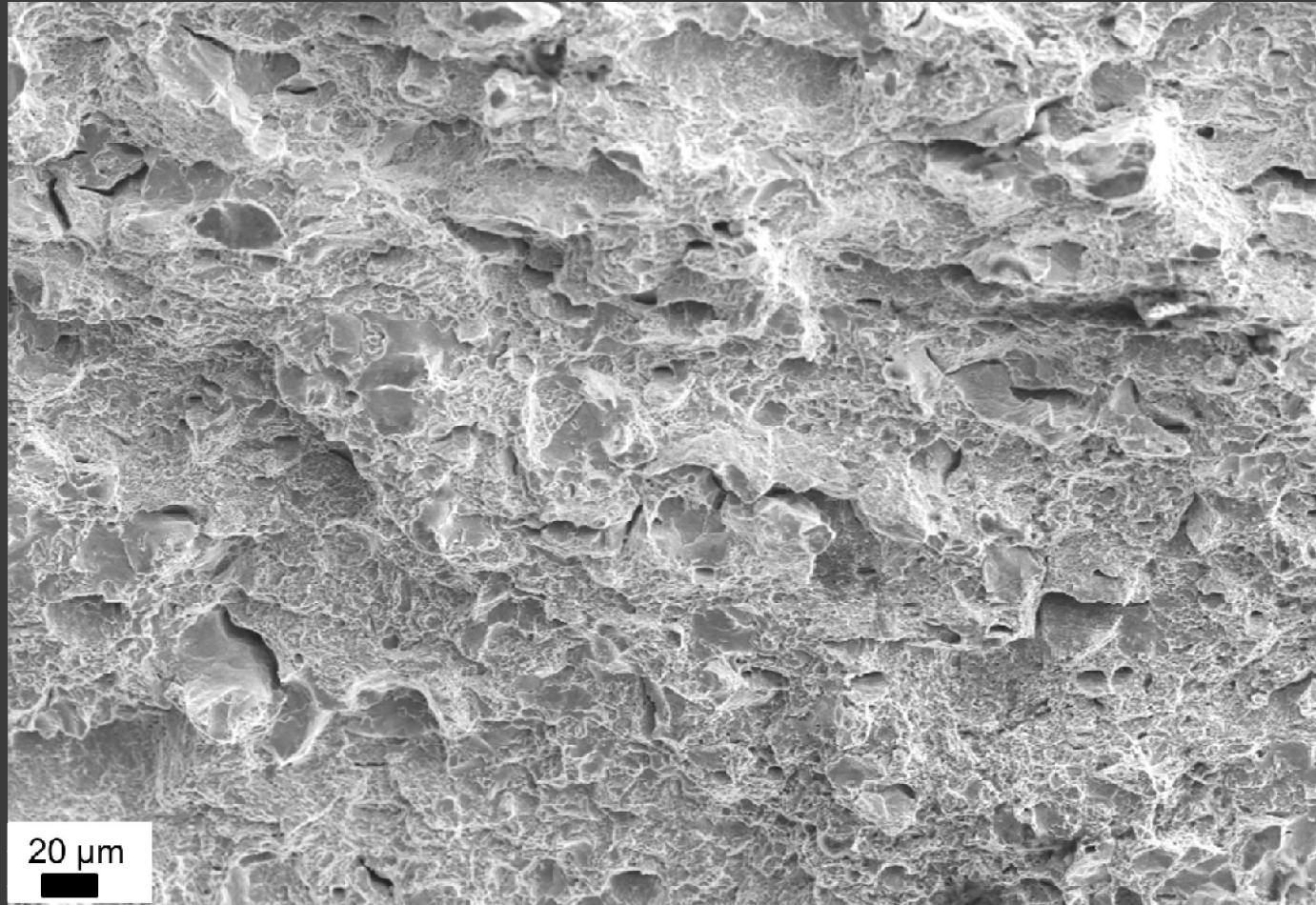
Излом образца без покрытия толщиной 1.8 мм в плоскости параллельной прокатке



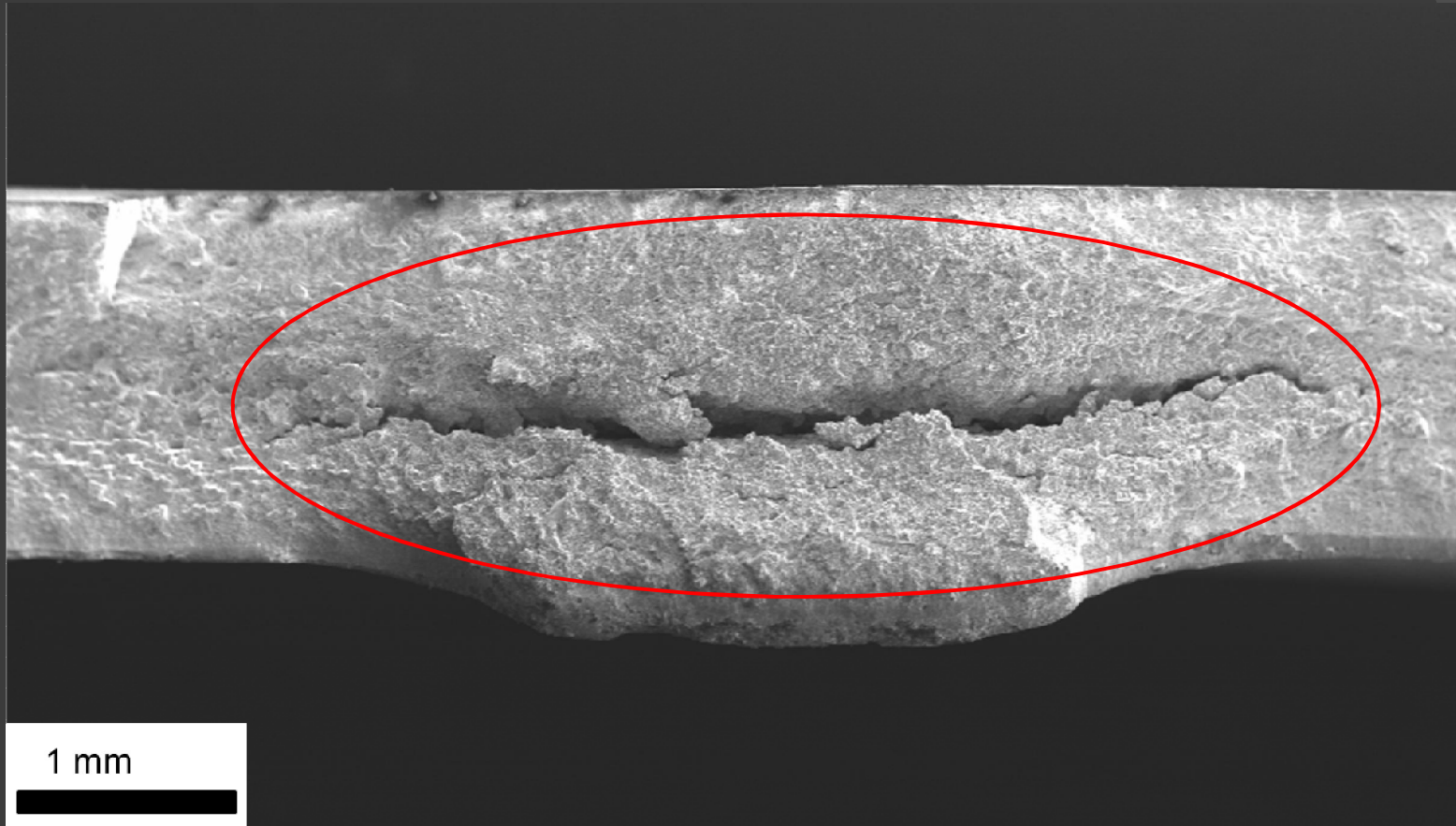
Дефекты в изломах образцов стали 70



Излом образца без покрытия толщиной 1.8 мм,
разрушенного при высокой скорости
деформирования



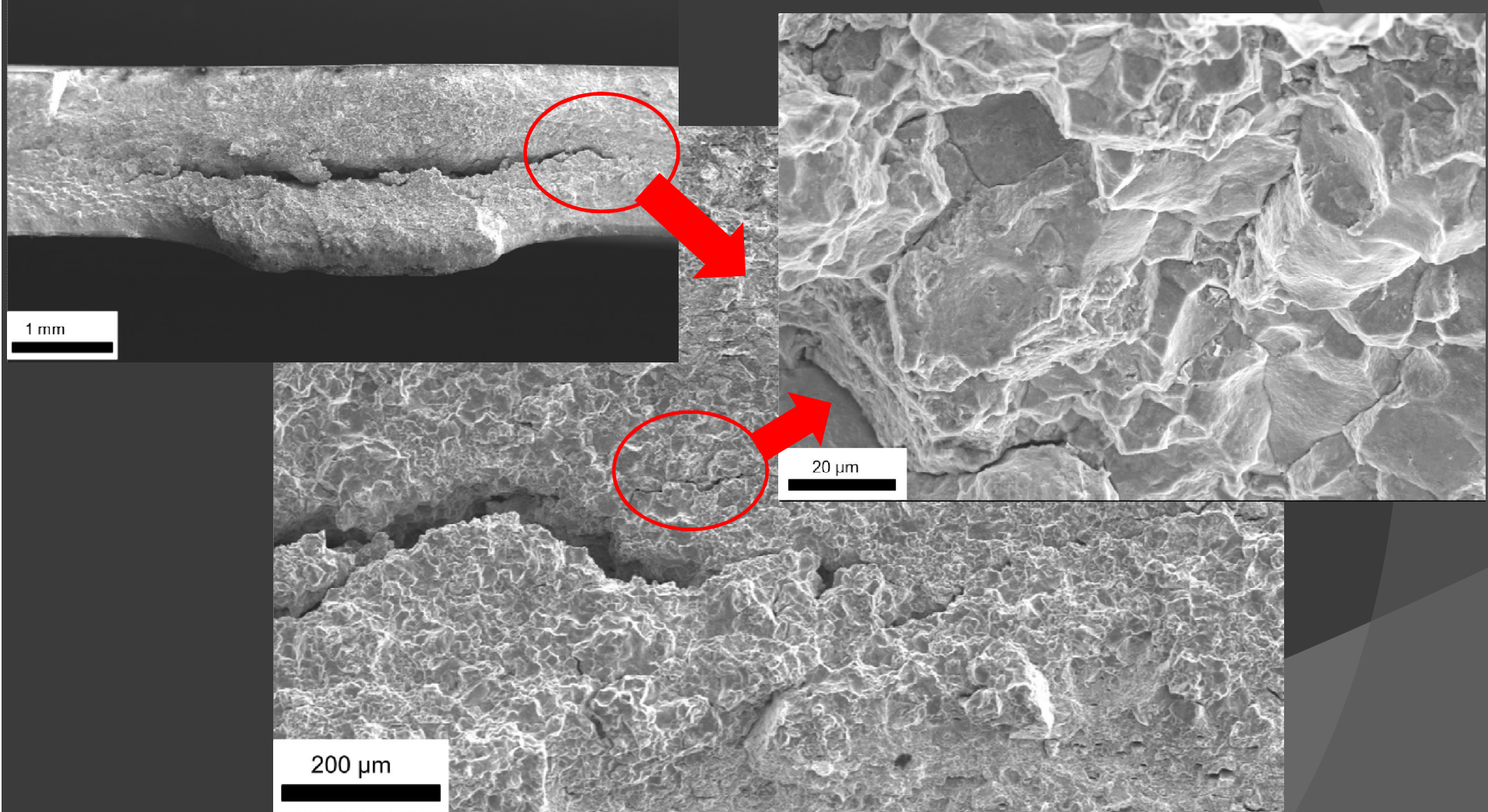
Излом образца с покрытием толщиной 1.8 мм,
разрушенного при низкой скорости
деформирования



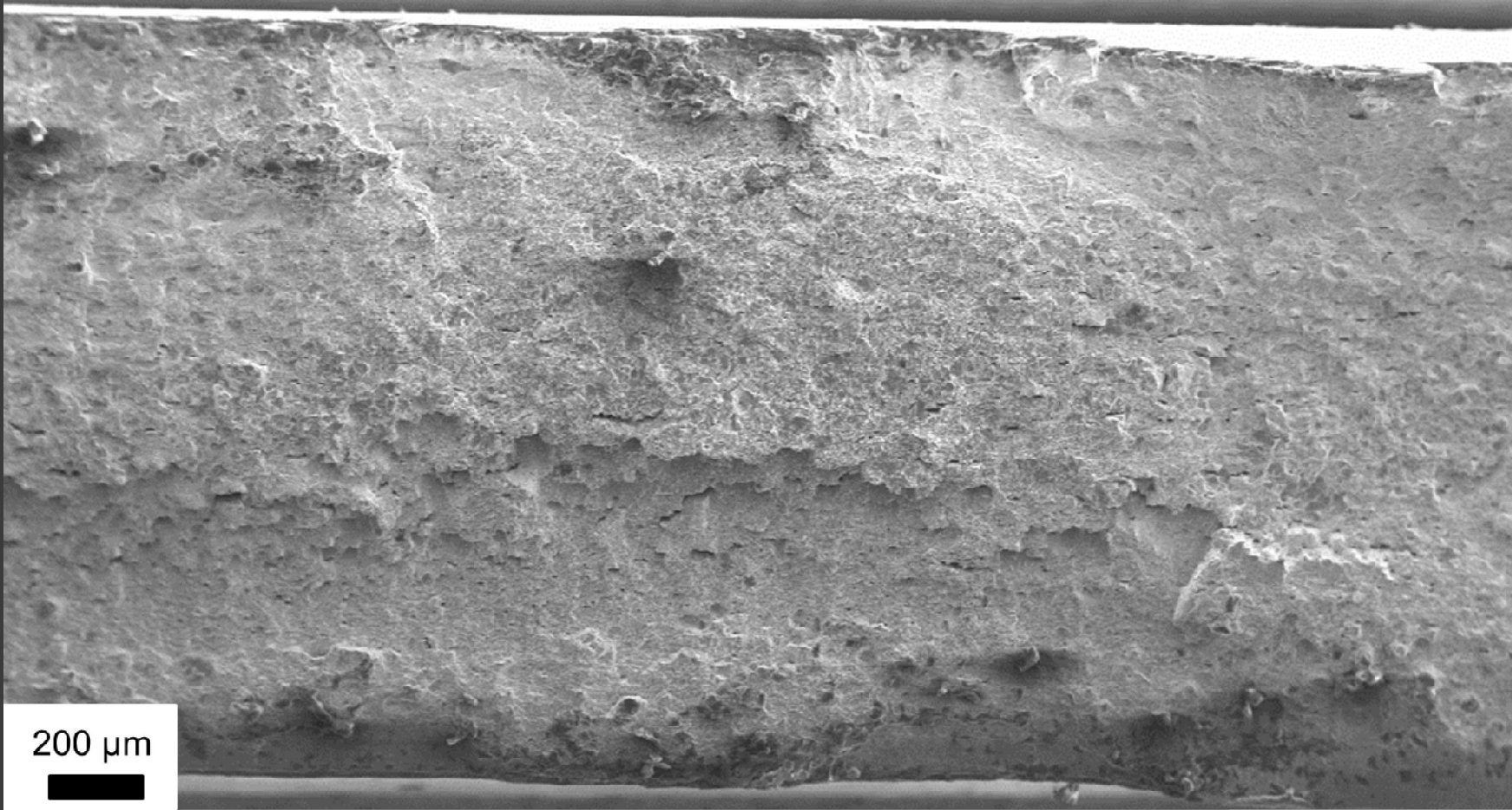
Охрупченная зона в изломе образца с покрытием
толщиной 1.8 мм, разрушенного при низкой
скорости деформирования



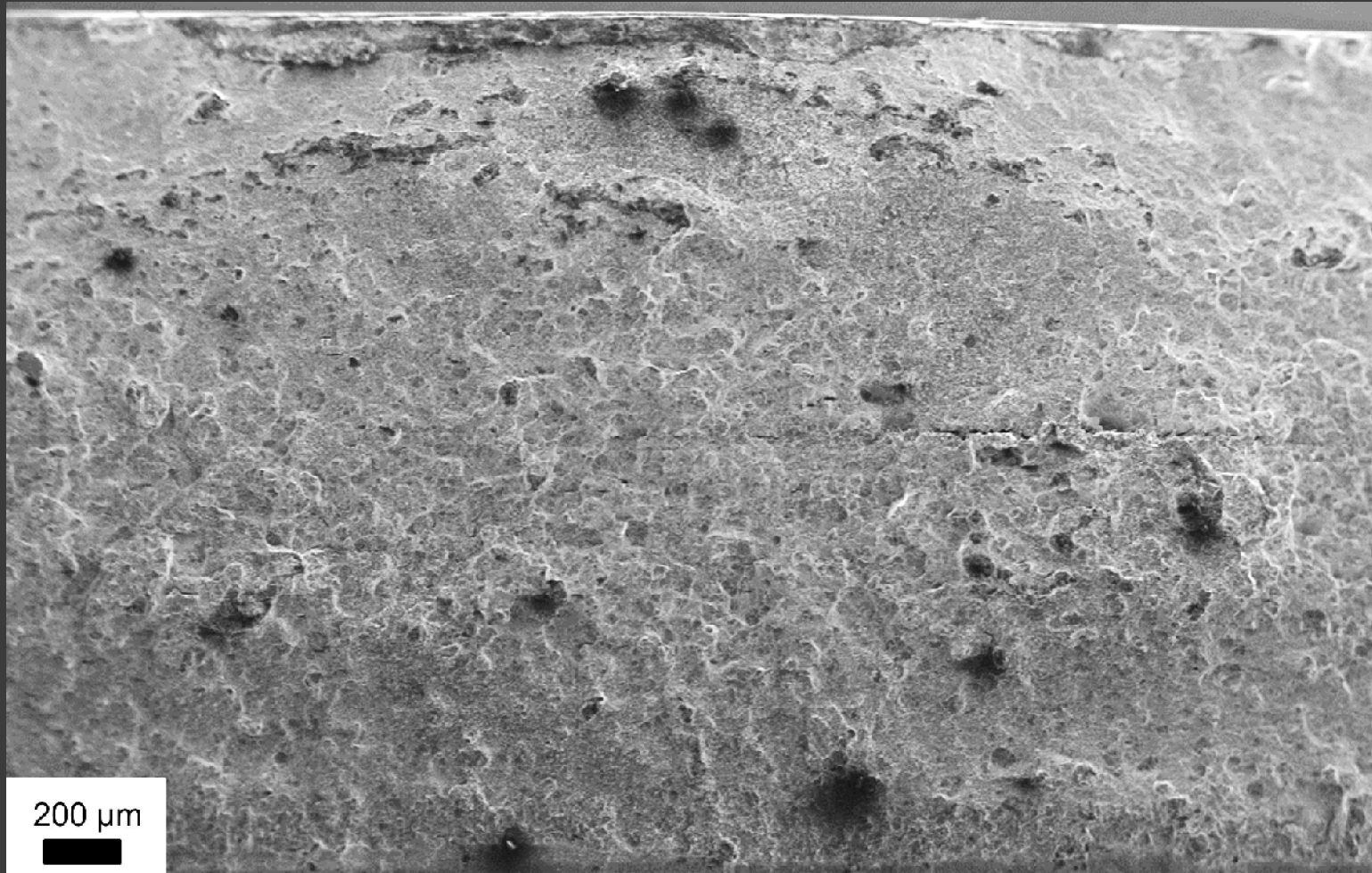
Охрупченная зона в изломе образца с покрытием
толщиной 1.8 мм, разрушенного при низкой
скорости деформирования



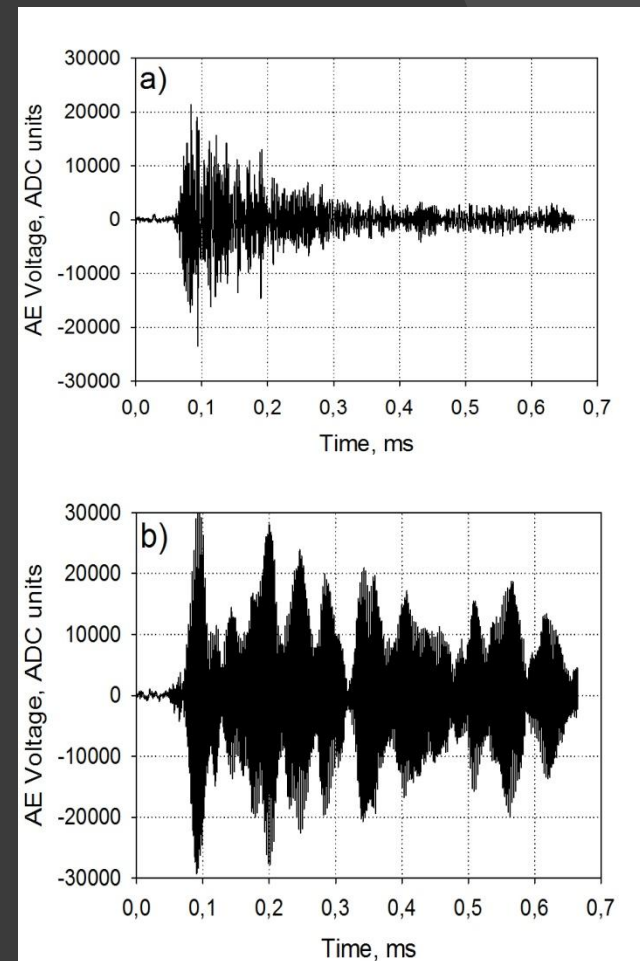
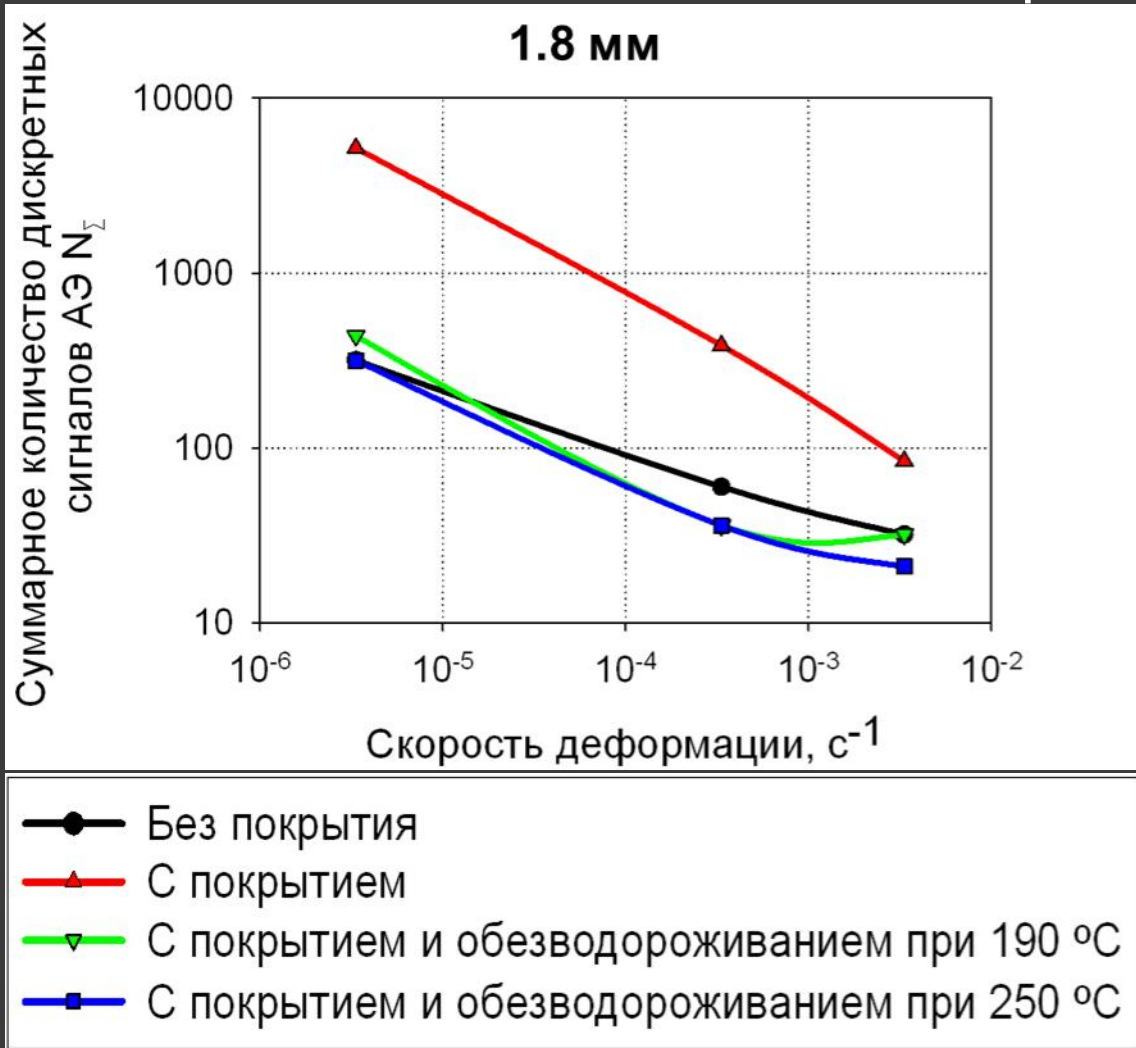
Охрупченная зона в изломе образца с покрытием
толщиной 1.8 мм, разрушенного при высокой
скорости деформирования



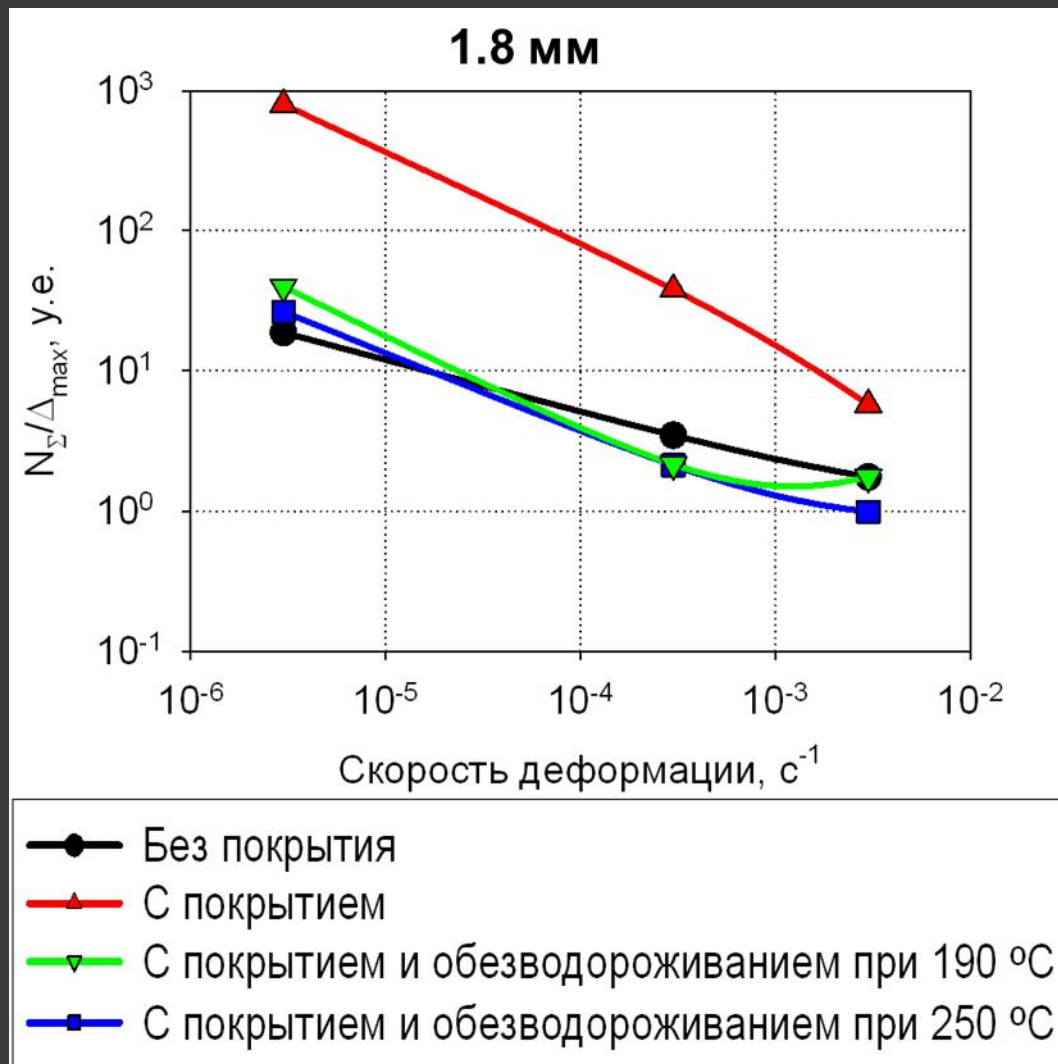
Охрупченная зона в изломе образца с покрытием
толщиной 2.5 мм, разрушенного при низкой
скорости деформирования



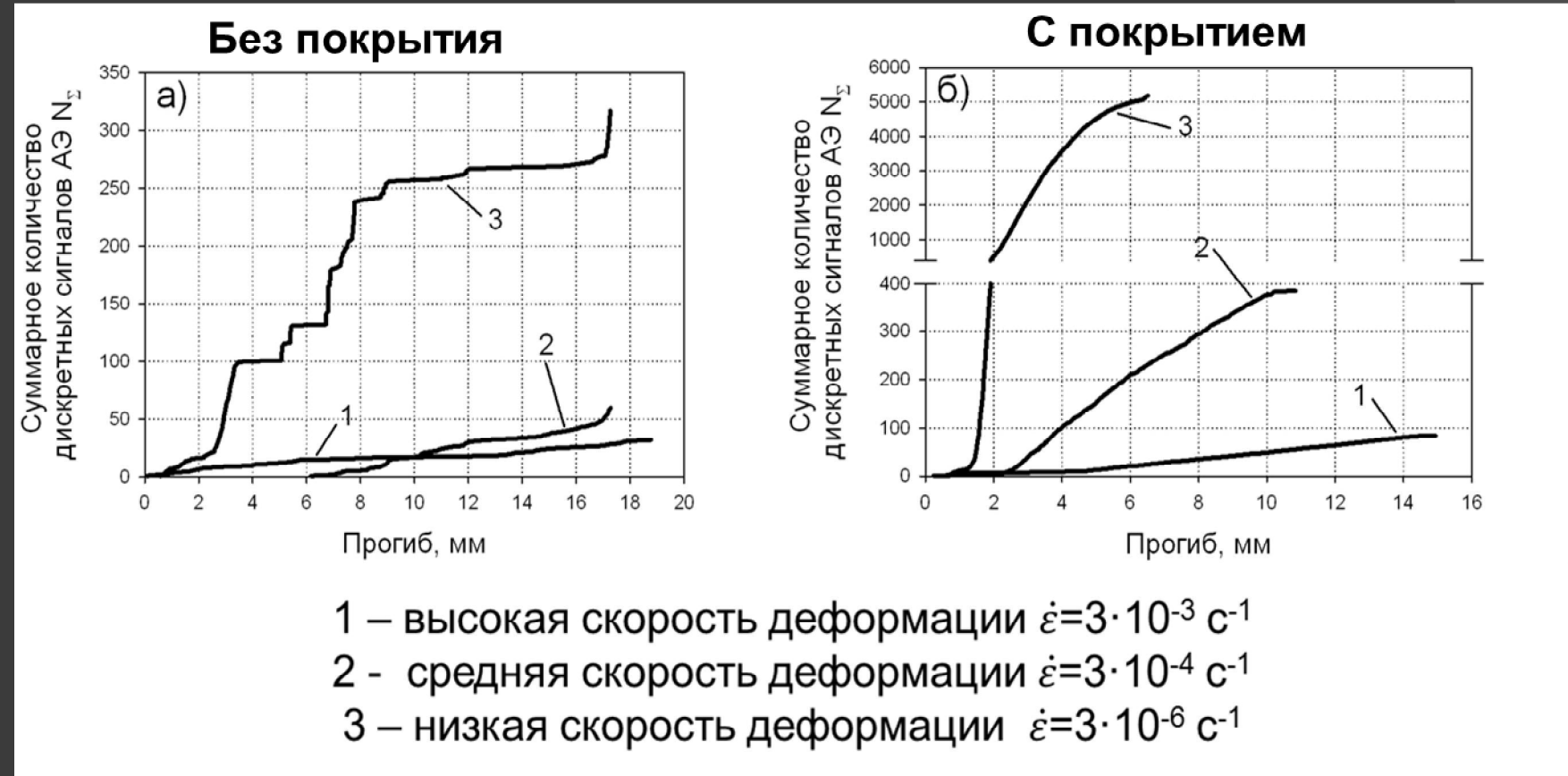
Зависимость суммарного количества дискретных сигналов АЭ, накопленного в процессе эксперимента от скорости деформации и состояния образца



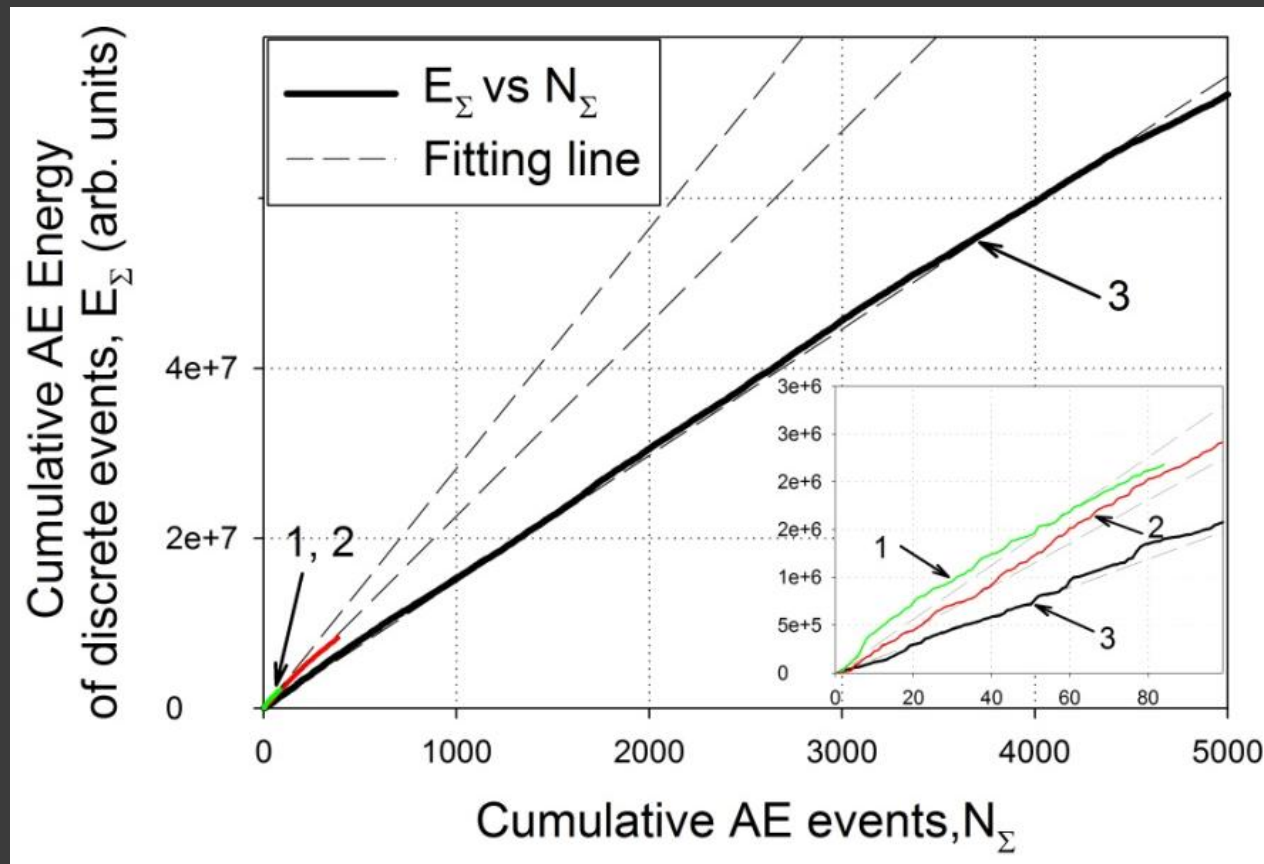
Зависимость интенсивности накопления повреждений в стали 70 в зависимости от скорости деформирования и состояния образца



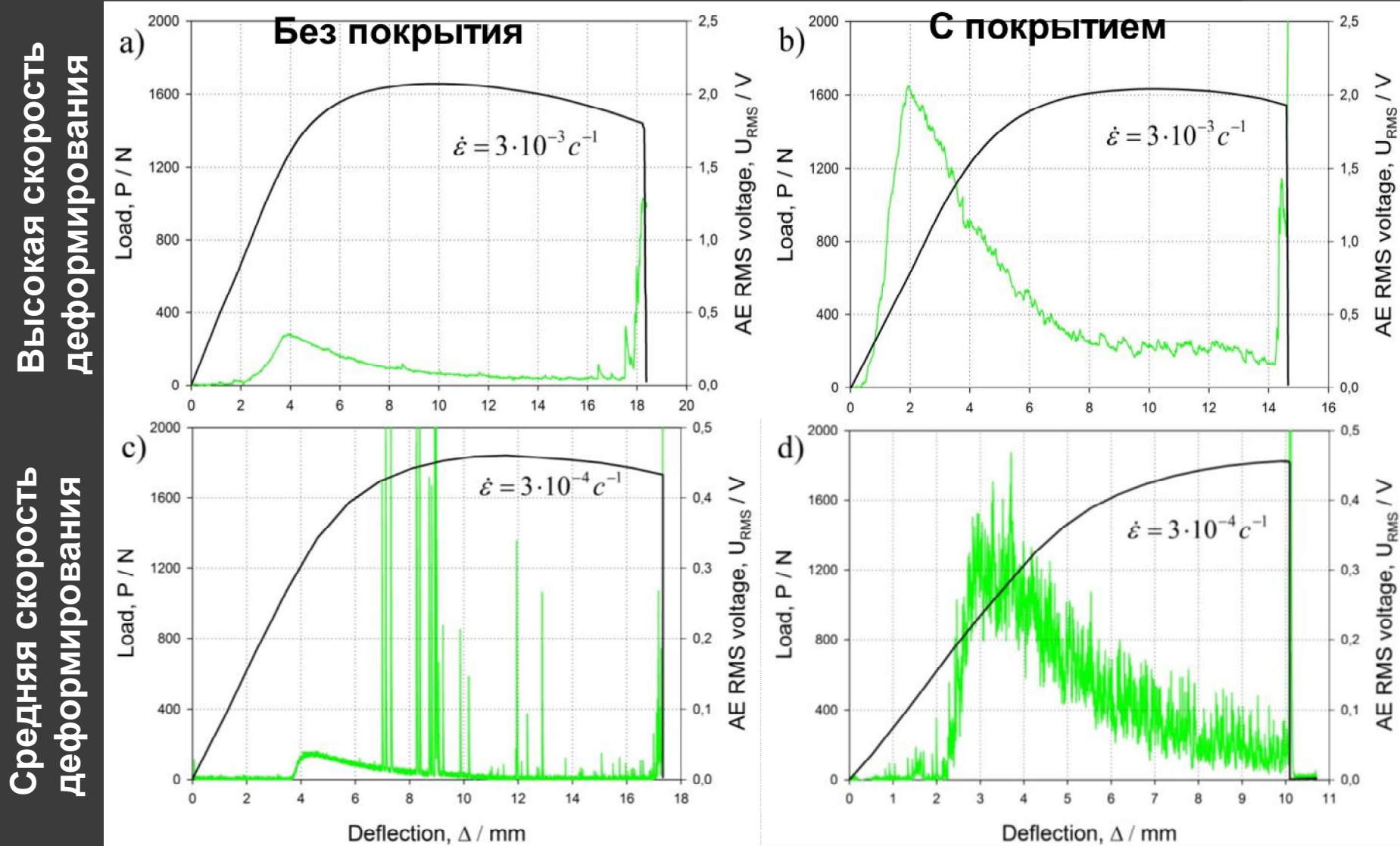
Кинетика накопления дискретных сигналов АЭ при различных скоростях деформации



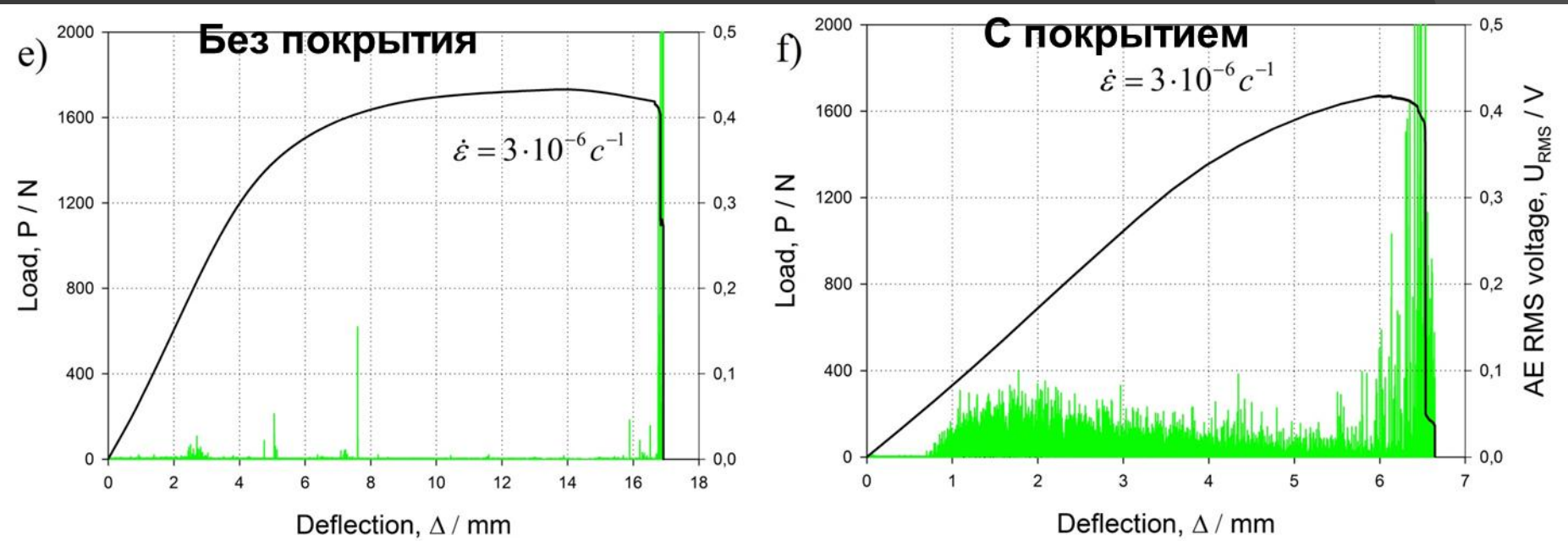
Зависимость накопления энергии от накопления дискретных сигналов АЭ



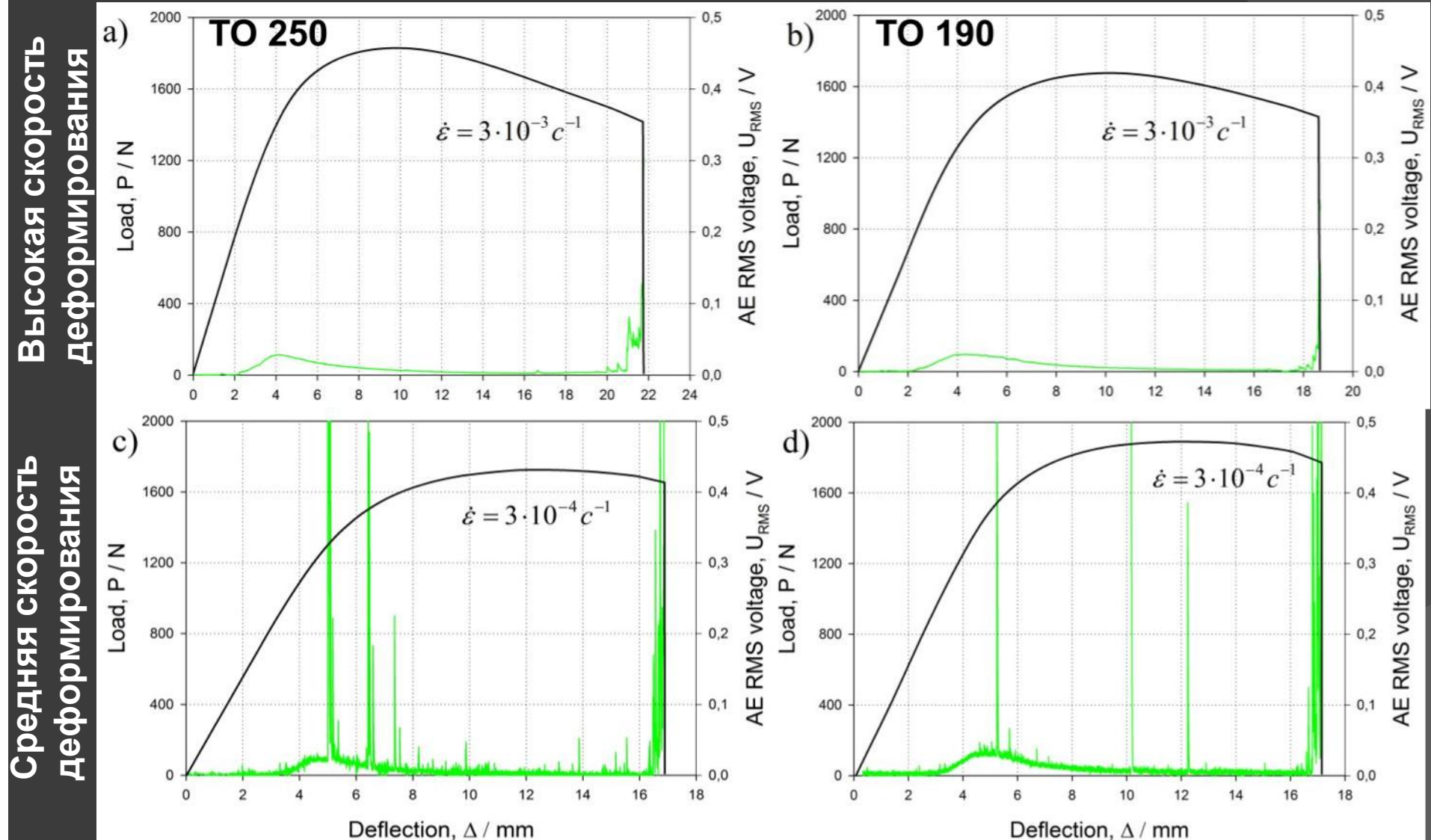
Кривые изгиба и U_{RMS} при средней и высокой скоростях деформирования образцов



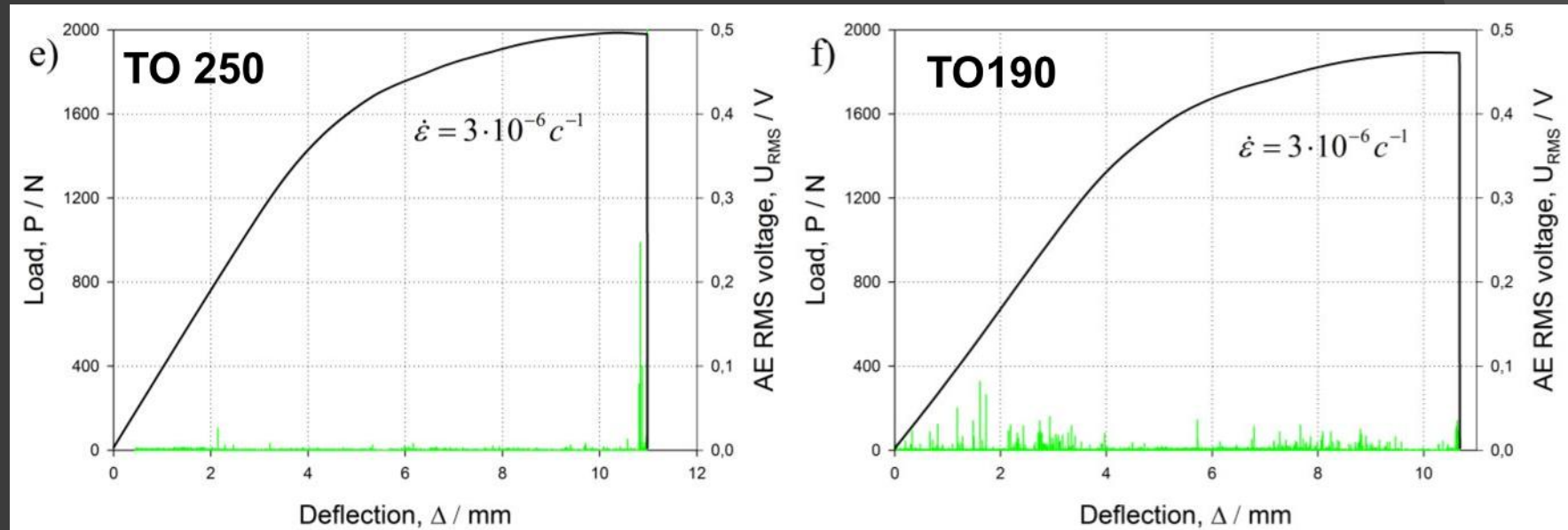
Кривые изгиба и Urms при низкой скорости деформирования образцов



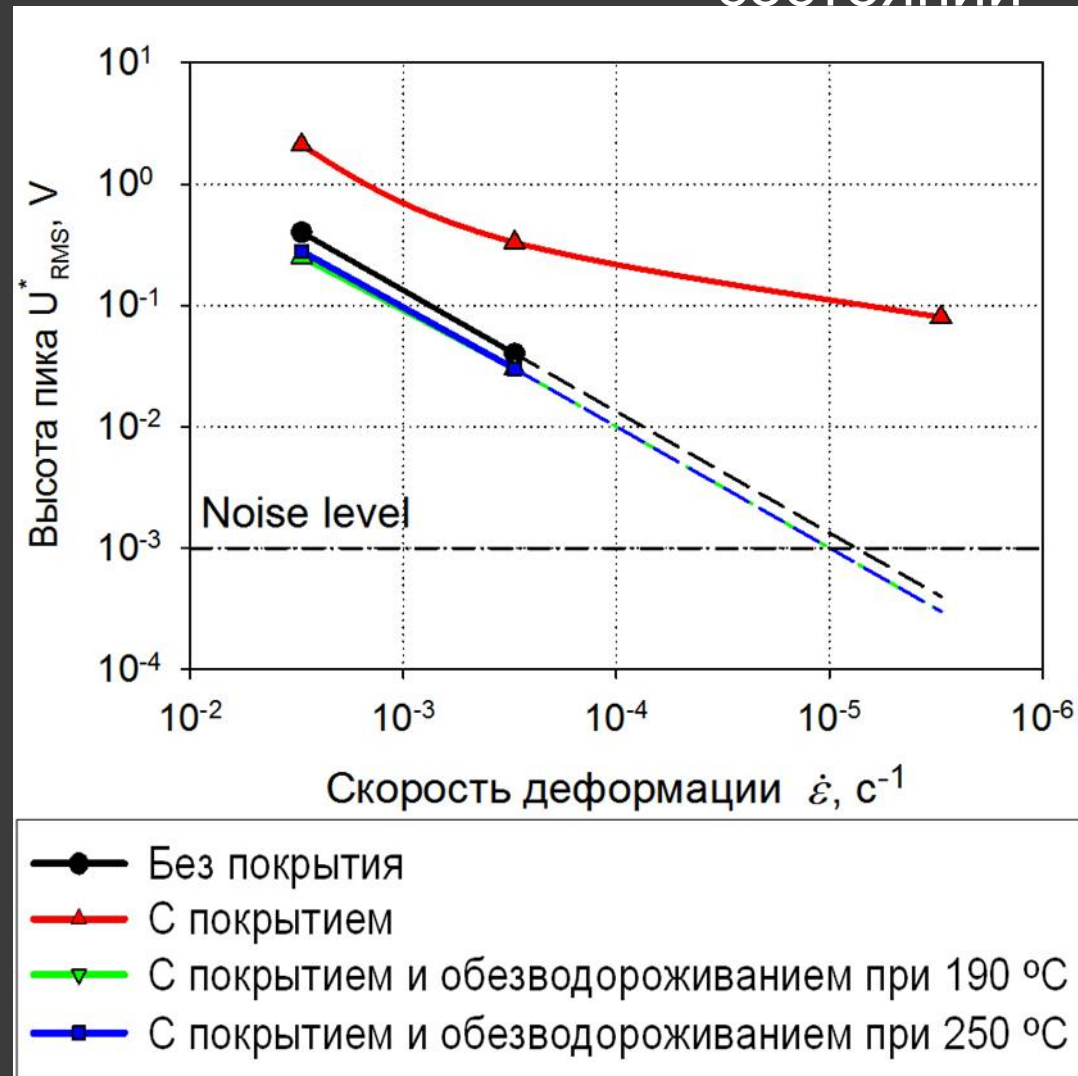
Кривые изгиба и Urms при низкой скорости деформирования образцов



Кривые изгиба и Urms при средней и высокой скоростях деформирования образцов



Зависимость высоты пика U_{RMS} от скорости деформирования для образцов в различном состоянии

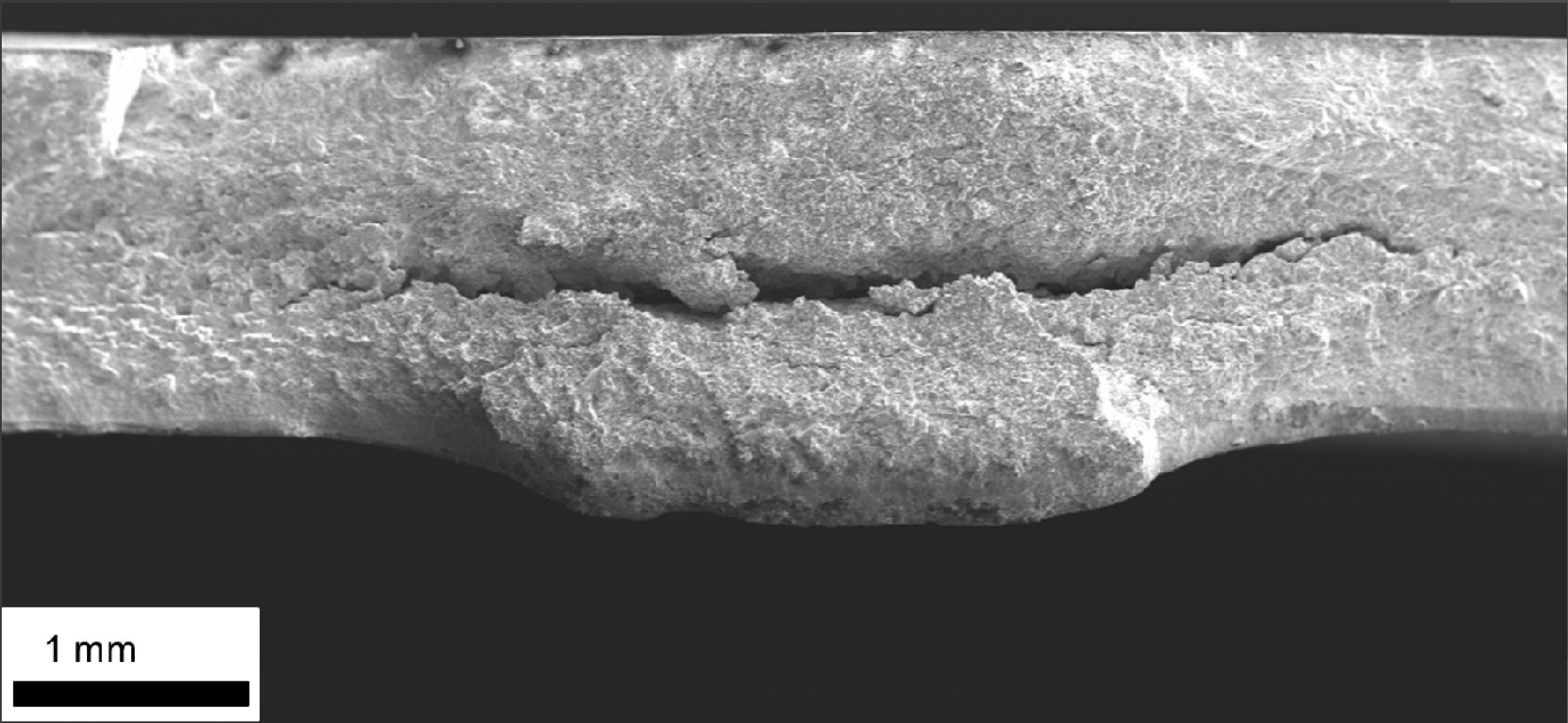


$$E \sim \dot{\epsilon}$$

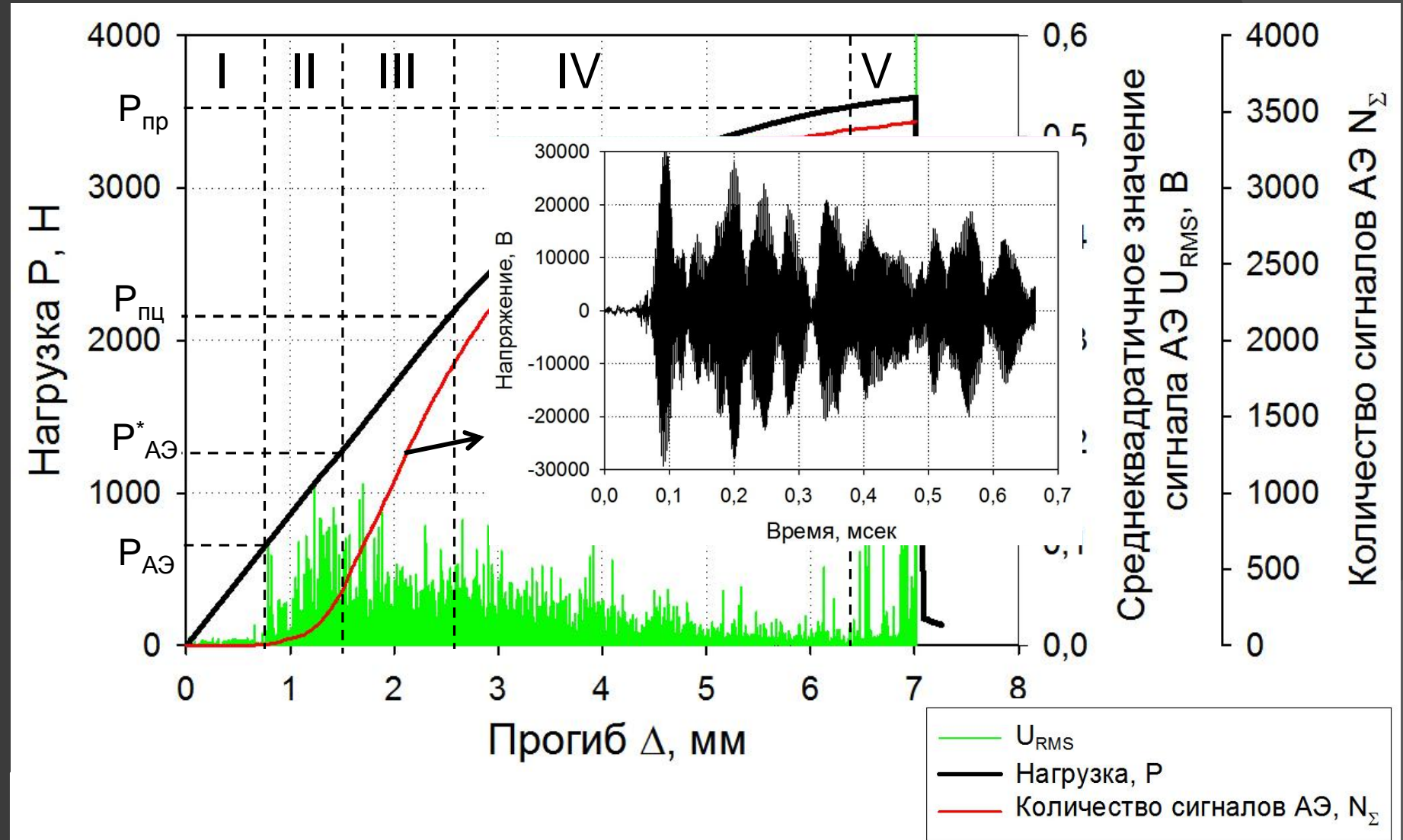
H. Hatano, Journal of Applied Physics, 47 (1976) 3873-3876

$$E \sim U_{RMS}^2$$

$$\rightarrow U_{RMS} \sim \dot{\epsilon}$$



Стадийность разрушения стали 70 в условиях ВХ



Выводы:

1. Основным источником дискретных сигналов АЭ при испытании образцов высокоуглеродистой стали на трехточечный изгиб являются отдельные акты микроразрушения: растрескивание по неметаллическим включениям, границам аустенитного зерна и т.д. Поэтому количество дискретных сигналов АЭ (N_{Σ}) коррелирует с величиной максимального прогиба Δ_{\max} этих образцов и количеством хрупкой составляющей в их изломах.
2. Среднее количество энергии, приходящееся на одно событие АЭ, в течение эксперимента остается практически постоянным, т.е. масштаб единичных актов микроразрушения также остается неизменным.
3. При деформировании образцов стали 70 с различной скоростью работают два основных механизма, приводящих к разрушению: 1) локализованная микропластическая деформация и 2) хрупкое межкристаллитное и транскристаллитное (по неметаллическим включениям) растрескивание, обусловленное влиянием водорода. При этом вклад того или иного механизма в результирующий процесс разрушения определяется скоростью деформирования, концентрацией и состоянием водорода в стали, и явным образом отражается на характере АЭ.

Выводы:

4. Процесс разрушения высокоуглеродистой стали охрупченной водородом в условиях при постоянной низкой скорости деформирования включает 5 характерных стадий: I – инкубационный период (активность АЭ минимальна, происходит зарождение микротрещин), II – стадия возрастания активности АЭ (скорость накопления повреждений растет), III – стадия постоянной активности АЭ (скорость накопления повреждений неизменна), IV – стадия снижения активности АЭ (интенсивность растрескивания снижается) и V – стадия предразрушения и разрушения (образование магистральной трещины и разрушение).

Спасибо за внимание!